

# O PRŮDOVOM POLI V HOMOGÉNNOM POLOPRIESTORE S GULOVOU VLOZKOU ODLIŠNEJ VODIVOSTI

T. KOLBENHAYER, Košice

Teoretické podklady interpretácie výsledkov geoelektrických odporových meraní sú veľmi podrobne zpracované pre útvary vymedzené rovinnými plochami, a to najmä pre polopriestor, ktorý pozostáva z nevelkého počtu vrstiev konštantnej mocnosti. Vo všetkých týchto prípadoch ide o geometrické schémy pozostávajúce z útvarov, ktoré majú aspoň jeden rozmer neohraničený, vo väčšine prípadov sú však dva rozmery nekonečné. Pomerne málo pozornosti sa doteraz venuje odporovým účinkom útvarov, ktoré sú po geometrickej stránke všestranne ohraničené. Ak pritom prihliadame na to, že sa u nás používajú odporové metódy pomerne často pri prieskume útvarov s konečnými, rádovo približne rovnakými rozmerni, ukazuje sa potrebné venovať viac pozornosti riešaniu aspoň niektorých takýchto problémov. Geometricky najjednoduchším prípadom tohto druhu je polopriestor s guľovou vložkou.

Po riešení problému sytienia multipólovými zdrojmi v homogénnom priestore so sférickou vložkou naznačuje sa v tejto práci spôsob striktného riešenia predloženého problému a odvodzujú sa približné vzorce, ktoré v dalekosiahlej miere vyhovujú všetkým praktickým požiadavkám.

Otázku prúdového pola v homogénnom polopriestore s guľovou vložkou odlišnej vodivosti riešil približnými metódami A. I. Zaborovskij (3). Blížil rozbor problému však ukazuje, že presnosť týchto metód nevyhovuje všetkým praktickým požiadavkám. Striktné riešenie problému podala N. V. Lipskaja (2) v dobe, keď už takmer celá tu predložená práca bola pripravená pre tlač. Uverejnenie tejto práce sa však pritom všetkom ukázalo účelným, pretože je nielen po metodologickej, ale aj po obsahovej stránke od spomenutých už prác, ktoré sa zaoberajú daným problémom, odlišná. Odvodené vzorce môžu slúžiť ako východisko pre ďalšie rozvítie problému a sú prispôsobené praktickým potrebám numerického počítania.

## § 1. REKAPITULÁCIA ZAKLADNÝCH ZÁKONOV, DEFINÍCIÍ A VZORCOV POTREBNÝCH PRE RIEŠENIE PROBLÉMU

Vzťah medzi vektorom hustoty prúdu  $\vec{i}$  a potenciálom  $V$  v izotropnom prostredí vyjadruje Ohmov zákon

$$\vec{i} = -\frac{1}{\rho} \text{grad } V, \quad (1)$$

kde  $\rho$  je špecifický odpor prostredia v uvažovanom bode. V ľubovoľnom bode, ktorý patrí k oblasti, kde nie sú zdroje prúdu, je  $\text{div } \vec{i} = 0$ , a preto v takejto oblasti potenciál vyhovuje Laplaceovej diferenciálnej rovnici.

$$\Delta V = 0, \quad (2)$$

ak ide o homogénne prostredie.

V prípade, že celý priestor je vyplnený homogénnym a izotropným prostredím (čo do elektrickej vodivosti) a toto prostredie sytíme jediným bodovým zdrojom, je potenciál  $V_{(0)}$  v ľubovoľnom bode priestoru vo vzdialenosti  $R$  od zdroja

$$V_{(0)} = \frac{q}{R}, \quad (3)$$

kde  $q$  je úmerné intenzite prúdu  $I$ , ktorý vyteká zo zdroja:

$$q = \frac{I\epsilon}{4\pi}.$$

Za ináč tých istých podmienok pri sytení jediným dipólovým, kvadrupólovým, oktapólovým alebo všeobecne multipólovým zdrojom pre potenciál v bode o pravouhlých karteziánskych súradniciach  $\xi_1, \xi_2, \xi_3$  vo vzdialenosti  $R$  od zdroja platia preto vzťahy:

1. pri dipólovom sytení

$$V_{(1)} = -\frac{1}{1!} \sum_i M_i \frac{\partial}{\partial \xi_i} \left( \frac{1}{R} \right), \quad (i = 1, 2, 3) \quad (3a)$$

2. pri kvadrupólovom sytení:

$$V_{(2)} = \frac{1}{2!} \sum_{ik} M_{ik} \frac{\partial^2}{\partial \xi_i \partial \xi_k} \left( \frac{1}{R} \right), \quad (i, k = 1, 2, 3) \quad (3b)$$

3. pri oktapólovom sytení:

$$V_{(3)} = -\frac{1}{3!} \sum_{ikl} M_{ikl} \frac{\partial^3}{\partial \xi_i \partial \xi_k \partial \xi_l} \left( \frac{1}{R} \right), \quad (i, k, l = 1, 2, 3) \quad (3c)$$

4. vo všeobecnom prípade  $2^n$ -pólového sytienia:

$$V_{(n)} = \frac{(-1)^n}{n!} \sum_{i_1, i_2, \dots, i_n} M_{i_1, i_2, \dots, i_n} \frac{\partial^n}{\partial \xi_{i_1} \partial \xi_{i_2} \dots \partial \xi_{i_n}} \left( \frac{1}{R} \right), \quad (i_1, i_2, \dots, i_n = 1, 2, 3) \quad (3d)$$

kaže  $M_i$  sú zložky vektora dipólového momentu,  $M_{ik}$ ,  $M_{ikl}$  atď. zložky tenzoru kvadrupólového, oktapólového momentu zdroja atď.

Dokážeme platnosť vzorca 3b pre potenciál kvadrupólového zdroja. Dôkaz ostatných vzorcov, ako aj všeobecného vzorca (3d) možno previesť tým istým spôsobom.

Majme najprv štyri bodové zdroje  $q_1, q_2, q_3, q_4$  (pri všeobecnom multipólovom systéme uvažujeme 2 $n$  bodových zdrojov), pričom súradnice zdroja  $q_i$  zdroja od počiatku súradnej sústavy nech sú  $x_k^i$  ( $k=1, 2, 3$ ). Vzdialenosť tohto sústavy v ľubovoľnom bode  $Q$  súradnicami  $\xi_k$  ( $k=1, 2, 3$ ), ktorého vzdialenie od zdroja  $q_i$  nech je  $l_i$ . Vzdialenosť bodu  $Q$  od počiatku súradnej sústavy z označíme  $R$  a predpokladajme, že táto vzdialenosť je väčšia ako najväčšia z hodnôt  $r_i$ :

$$R > (r_i)_{\max}.$$

Potenciál v uvažovanom bode je potom podľa vzorca (3).

$$V = \sum_i \frac{q_i}{l_i}$$

Avšak, ako budeme o tom hovoriť podrobnejšie neskôr v § 2, funkciu  $\frac{1}{l_i}$  možno rozviesť v Taylorov rad podľa mocnín  $\xi_1, \xi_2, \xi_3$  (pre objasnenie tohto postupu môže slúžiť tiež obr. 1):

$$\frac{1}{l_i} = \frac{1}{R} - \frac{1}{R^2} \sum_k x_k^i \frac{\partial}{\partial \xi_k} \left( \frac{1}{R} \right) + \frac{1}{2!} \sum_{kl} x_k^i x_l^i \frac{\partial^2}{\partial \xi_k \partial \xi_l} \left( \frac{1}{R} \right) - \frac{1}{3!} \sum_{klm} x_k^i x_l^i x_m^i \frac{\partial^3}{\partial \xi_k \partial \xi_l \partial \xi_m} \left( \frac{1}{R} \right) + \dots \quad (k, l, \dots = 1, 2, 3),$$

preto možno tiež písať:

$$V = \frac{1}{R} \sum_i q_i - \frac{1}{R^2} \sum_{ik} q_i x_k^i \frac{\partial}{\partial \xi_k} \left( \frac{1}{R} \right) + \frac{1}{2!} \sum_{ikl} q_i x_k^i x_l^i \frac{\partial^2}{\partial \xi_k \partial \xi_l} \left( \frac{1}{R} \right) - \frac{1}{3!} \sum_{iklm} q_i x_k^i x_l^i x_m^i \frac{\partial^3}{\partial \xi_k \partial \xi_l \partial \xi_m} \left( \frac{1}{R} \right) + \dots$$

Uvažujme teraz, že by sme mali sústavu, pre ktorú by platilo:

$$\sum_i q_i = 0, \quad \sum_i q_i x_k^i = 0,$$

(t. j. sústavu s nulovou celkovou intenzitou a nulovým dipólovým momentom). Rad pre potenciál sa potom zjednodušuje takto:

$$V = \frac{1}{2!} \sum_{ikl} q_i x_k^i x_l^i \frac{\partial^2}{\partial \xi_k \partial \xi_l} \left( \frac{1}{R} \right) - \frac{1}{3!} \sum_{iklm} q_i x_k^i x_l^i x_m^i \frac{\partial^3}{\partial \xi_k \partial \xi_l \partial \xi_m} \left( \frac{1}{R} \right).$$

Približujeme teraz napr. úmerným zmenšovaním všetkých  $|x_k^i|$  všetky zdroje  $k$  počiatku súradnej sústavy, pričom však zvyšujeme súčasne všetky  $q_i$  v pomere  $|x_k^i|^2$ . Súčet

$$M_{kl} = \sum_i q_i x_k^i x_l^i$$

zostáva nezmenený, a práve tak aj naďalej platí:

$$q_i = \sum_j q_j x_k^j = 0,$$

naproti tomu napr.

$$\lim_{x_k^i \rightarrow 0} \sum_j q_j x_k^j x_l^j x_m^j = 0$$

a to isté platí o všetkých podobných výrazoch v treťom, štvrtom a v ďalších členoch výrazu pre potenciál. Prechodom k limite  $x_k^i \rightarrow 0$  dostávame v počiatku kvadrupólový zdroj. Hodnoty  $M_{kl}$ , ktoré sme definovali, nazývame zložkami jeho momentu v uvažovanej súradnej sústave. Potenciál kvadrupólového zdroja v bode  $Q$  ( $\xi_1, \xi_2, \xi_3$ ) teda je:

$$V = V_Q = \frac{1}{2!} \sum_{kl} M_{kl} \frac{\partial^2}{\partial \xi_k \partial \xi_l} \left( \frac{1}{R} \right),$$

čím sme vzorec (3b) dokázali.

Zložky kvadrupólového momentu sa často definujú odlišne od definície, ktorú sme tu uviedli, vzorcami:

$$m_{kl} = M_{kl} - \frac{1}{3} \delta_{kl} \sum_i M_{ii},$$

kde  $\delta_{kl} = 1$ , ak  $k=l$ ,  $\delta_{kl} = 0$ , ak  $k \neq l$ . Potom však

$$V = \frac{1}{2!} \sum_{kl} \left( m_{kl} + \frac{1}{3} \delta_{kl} \sum_i M_{ii} \right) \frac{\partial^2}{\partial \xi_k \partial \xi_l} \left( \frac{1}{R} \right) = \frac{1}{2!} \sum_{kl} m_{kl} \frac{\partial^2}{\partial \xi_k \partial \xi_l} \left( \frac{1}{R} \right) + \frac{\sum_i M_{ii}}{3!} \sum_k \frac{\partial^2}{\partial \xi_k^2} \left( \frac{1}{R} \right)$$

a druhý člen v poslednom výraze sa rovná identicky nule, pretože  $\frac{1}{R}$  je harmonická funkcia. Preto aj pri tejto definícii zložiek kvadrupólového momentu pre potenciál platí vzorec:

$$V = \frac{1}{2!} \sum_{kl} m_{kl} \frac{\partial^2}{\partial \xi_k \partial \xi_l} \left( \frac{1}{R} \right).$$

Dokážeme ešte, že pri zachovaní rovnobežnosti osí súradnej sústavy hodnoty  $M_{kl}$  pre ľubovoľnú sústavu zdrojov s nulovou celkovou intenzitou a nulovým dipólovým momentom sú nezávislé od voľby počiatku. V skutočnosti ak

$$x_k^i = X_k^i + \Delta_k,$$

dostávame najprv

$$\sum_i g_i x_i = \sum_i g_i X_k = \Delta_k \sum_i g_i = \sum_i g_i X_k = 0,$$

ďalej

$$\sum_i g_i x_i x_j = \sum_i g_i (X_k + \Delta_k)(X_j + \Delta_j) = \sum_i g_i X_k X_j + \Delta_k \sum_i g_i X_j + \Delta_j \sum_i g_i X_k + \Delta_k \Delta_j \sum_i g_i$$

Teda je:

$$\sum_i g_i X_k X_j = \sum_i g_i x_i x_j = M_{kl}$$

Z fyzikálneho zmyslu potenciálu je zrejmé, že potenciál kvadrupólu (multi-pólu) je nezávislý od voľby súradnej sústavy. Po matematickej stránke táto okolnosť sa vysvetľuje tým, že zložky kvadrupólového momentu  $M_{kl}$ , ako aj derivácie

$$\frac{\partial^2}{\partial \xi_k \partial \xi_l} \left( \frac{1}{R} \right)$$

tvoria tenzor. Výraz na pravej strane vzorca (3b) preto predstavuje skalárny súčet týchto dvoch tenzorov a je teda v zmysle poučiek tenzorovej algebry invariantný voči akejkoľvek lineárnej transformácii súradnic danej vzorcami:

$$x_k = \sum_r a_{kr} \bar{x}_r, \quad \xi_k = \sum_r a_{kr} \bar{\xi}_r,$$

kde  $a_{kr}$  sú ľubovoľné konštanty.

Inverznú transformáciu možno pritom vyjadriť vzorcami:

$$\bar{x}_i = \sum_r A_{ri} x_r, \quad \bar{\xi}_i = \sum_r A_{ri} \xi_r.$$

Z týchto transformovaných vzorcov dostávame ľahko vzťah:

$$\bar{x}_i^2 = \sum_r A_{ri} \sum_s A_{rs} \bar{x}_s^2 = \sum_{rs} A_{ri} A_{rs} \bar{x}_s^2,$$

ktorý platí pre ľubovoľné hodnoty súradnic  $\bar{x}_i$ . To je však možné iba vtedy, ak platí známy vzťah:

$$\sum_{rs} A_{ri} A_{rs} = \delta_{rs}.$$

Pri takýchto transformáciách súradnic však zrejme platí:

$$M_{kl} = \sum_i g_i x_k x_l = \sum_{rs} a_{kr} a_{lr} g_i \bar{x}_r^2 = \sum_{rs} \bar{g}_{rs} a_{kr} a_{lr} \bar{M}_{rs},$$

čím sme dokázali, že zložky kvadrupólového momentu sa transformujú ako zložky kontravariantného tenzoru.

Ľahko dokážeme tiež ďalší vzorec:

$$\frac{\partial^2}{\partial \xi_k \partial \xi_l} \left( \frac{1}{R} \right) = \sum_{mn} A_{lk} A_{ml} \frac{\partial^2}{\partial \bar{\xi}_m \partial \bar{\xi}_n} \left( \frac{1}{R} \right),$$

ktorý vyjadruje skutočnosť, že druhé derivácie skaláru  $\frac{1}{R}$  podľa priamočiarych

súradnic  $\xi_k$  tvoria kovariantný tenzor druhého stupňa. Pre potenciál kvadrupólového zdvoja platí vzťah:

$$V = \frac{1}{2!} \sum_{kl} M_{kl} \frac{\partial^2}{\partial \xi_k \partial \xi_l} \left( \frac{1}{R} \right) = \sum_{klmn} c_{klmn} A_{lk} A_{ml} \bar{M}_{rs} \frac{\partial^2}{\partial \bar{\xi}_m \partial \bar{\xi}_n} \left( \frac{1}{R} \right) = \sum_{rs} \delta_{rs} \delta_{mn} \bar{M}_{rs} \frac{\partial^2}{\partial \bar{\xi}_m \partial \bar{\xi}_n} \left( \frac{1}{R} \right) = \sum_{rs} \bar{M}_{rs} \frac{\partial^2}{\partial \bar{\xi}_r \partial \bar{\xi}_s} \left( \frac{1}{R} \right),$$

ktorý vyjadruje jeho invariantnosť voči uvažovanej transformácii súradnic.

Definujeme v ľubovoľnej pravouhlej kartezianskej sústave symetrické tenzory  $A_i, A_{ik}, A_{ikl}, \dots$  takýmto spôsobom:

$$A_i = -\frac{R^2}{1!} \frac{\partial}{\partial \xi_i} \left( \frac{1}{R} \right),$$

$$A_{ik} = \frac{R^3}{2!} \frac{\partial^2}{\partial \xi_i \partial \xi_k} \left( \frac{1}{R} \right), \quad (i, k, l, \dots = 1, 2, 3) \quad (4)$$

$$A_{ikl} = -\frac{R^4}{3!} \frac{\partial^3}{\partial \xi_i \partial \xi_k \partial \xi_l} \left( \frac{1}{R} \right) \text{ atď.}$$

Keďže funkcia  $\frac{1}{R}$  vyhovuje Laplaceovej rovnici, platí:

$$\sum_i \Delta_{ii} = 0, \quad \sum_i \Delta_{iik} = 0, \quad \sum_i \Delta_{iikl} = 0, \dots \quad (5)$$

Zložky vektora  $A_i$  sú smerové kosinusy spojnice zdvoja s uvažovaným bodom priestoru  $Q$ . V dôsledku toho, ako aj v dôsledku definícií tenzorov  $A_i, A_{ik}, A_{ikl}, \dots$  vyjadrených rovnicami (4), platia vzťahy:

$$A_i = P_{(A)}, \quad A_{ii} = P_{(AA)}, \quad A_{iii} = P_{(AAA)} \text{ atď.} \quad (6)$$

kde  $P_n$  je Legendreov polynóm  $n$ -tého stupňa definovaný známym spôsobom práve ako polynóm:

$$P_{n(A)} = (-1)^n \frac{R^{n+1}}{n!} \frac{\partial^n}{\partial \xi_i^n} \left( \frac{1}{R} \right). \quad (7)$$

Všetky zložky tenzorov  $A_{ik}, A_{ikl}$  atď. dajú sa vyjadriť tiež elementárnym spôsobom ako celé algebraické funkcie zložiek vektora  $A_i$ , o čom sa možno presvedčiť priamo derivovaním v rovnicách (4). Takto dostávame:

$$\begin{aligned} A_{ik} &= \frac{3 \cdot 1}{2!} A_i A_k - \frac{1}{2!} \delta_{ik}, \\ A_{ikl} &= \frac{5 \cdot 3 \cdot 1}{3!} A_i A_k A_l - \frac{3 \cdot 1}{3!} (\delta_{ik} A_l + \delta_{il} A_k + \delta_{kl} A_i) \end{aligned} \quad (8)$$

atď.,

kde  $\delta_{ik} = 1$ , ak  $i = k$  a  $\delta_{ik} = 0$ , ak  $i \neq k$ .

Doteraz sme uvažovali jediný ľubovoľný bod o súradniciach  $\xi_1, \xi_2, \xi_3$  vo vzdialenosti  $R > 0$  od zdroja. Ak uvažujeme ktorýkoľvek iný ľubovoľný bod vo vzdialenosti  $r > 0$  od tohto zdroja, ktorého súradnice sú  $x_1, x_2, x_3$ , možno definovať analogické rovnice (4) ďalšiu skupinu symetrických tenzorov:

$$a_{ik} = \frac{r^4}{2!} \frac{\partial^2}{\partial x_i \partial x_k} \left( \frac{1}{r} \right),$$

$$a_{ikl} = -\frac{r^4}{3!} \frac{\partial^3}{\partial x_i \partial x_k \partial x_l} \left( \frac{1}{r} \right)$$

atď.,

(4a)

pre ktorých zložky platia s prislúšnými zmenami rovnice (5) až (8). Dokážeme teraz niektoré základné vzťahy medzi zložkami tenzorov  $a_{ik}$  a  $A_{ik}$ . Tvoríme najprv napr. tento skalárny súčin:

$$\sum_{ik} A_{ik} a_{ik} = \frac{3 \cdot 1}{2!} \sum_{ik} a_{ik} A_{ik} - \frac{1}{2!} \sum_{ik} a_{ik} \delta_{ik}$$

v. rovn. (8). Druhý súčet na pravej strane tejto rovnice sa nám však v dôsledku definície veličiny  $\delta_{ik}$  redukuje na  $\sum a_{ii}$ .

V dôsledku rovníc analogických rovniciam (7) a platných pre tenzor  $a_{ik}$  však platí:

$$\sum_i a_{ii} = 0.$$

Preto dostávame:

$$\sum_{ik} A_{ik} a_{ik} = \frac{3 \cdot 1}{2!} \sum_{ik} a_{ik} A_{ik} A_{ik} = \frac{3 \cdot 1}{2!} \sum_{ik} A_{ik} a_{ik} a_{ik}. \quad (8)$$

Tým istým spôsobom možno dokázať, že platia vzťahy:

$$\sum_{ikl} A_{ikl} a_{ikl} = \frac{5 \cdot 3 \cdot 1}{3!} \sum_{ikl} a_{ikl} A_{ikl} A_{ikl} = \frac{5 \cdot 3 \cdot 1}{3!} \sum_{ikl} A_{ikl} a_{ikl} a_{ikl},$$

$$\sum_{iklm} A_{iklm} a_{iklm} = \frac{7 \cdot 5 \cdot 3 \cdot 1}{4!} \sum_{iklm} a_{iklm} A_{iklm} A_{iklm} = \frac{7 \cdot 5 \cdot 3 \cdot 1}{4!} \sum_{iklm} A_{iklm} a_{iklm} a_{iklm}, \quad (9)$$

ktoré možno zovšeobecniť pre ľubovoľný počet indexov.

Skalárny súčin dvoch tenzorov je nezávislý od voľby súradnicovej sústavy. Túto si teda môžeme voľiť napr. tak, že by bolo:

$$A_p = 1, \quad A_i = \delta_{ip}, \quad A_k = \delta_{kp}, \quad A_l = \delta_{lp},$$

kde  $p$  je ľubovoľný pevný index ( $p = 1, 2, 3$ ). Potom

$$\sum_{ik} a_{ik} A_i A_k = a_{pp} = P_2(a_p),$$

$$\sum_{ikl} a_{ikl} A_i A_k A_l = a_{ppp} = P_3(a_p),$$

$$\sum_{iklm} a_{iklm} A_i A_k A_l A_m = a_{pppp} = P_4(a_p), \quad (10)$$

kde  $a_p$  teraz znamená kosínus uhla  $\psi$ , ktorý zvierajú oba smery ( $A_1, A_2, A_3$ ) a ( $a_1, a_2, a_3$ ). Kladúc preto v rovniciach (10)

$$a_p = \cos \psi,$$

dostávame z rovníc (9) nezávisle od voľby súradnicovej sústavy:

$$\sum_{ik} A_{ik} a_{ik} = \frac{3 \cdot 1}{2!} P_2(\cos \psi)$$

$$\sum_{ikl} A_{ikl} a_{ikl} = \frac{5 \cdot 3 \cdot 1}{3!} P_3(\cos \psi)$$

$$\sum_{iklm} A_{iklm} a_{iklm} = \frac{7 \cdot 5 \cdot 3 \cdot 1}{4!} P_4(\cos \psi) \quad (11)$$

atď.

a tieto rovnice možno opäť zovšeobecniť pre ľubovoľný počet indexov.

Podobne vzťahom (9) možno tiež dokázať, že:

$$\sum_{ikl} A_{ikl} a_{ikl} = \frac{3 \cdot 1}{2!} \sum_{ikl} A_{ikl} a_{ikl} a_{ikl},$$

$$\sum_{iklm} A_{iklm} a_{iklm} = \frac{5 \cdot 3 \cdot 1}{3!} \sum_{iklm} A_{iklm} a_{iklm} a_{iklm}$$

atď.

(12)

a všeobecne

$$\sum_{i_1 i_2 \dots i_n} A_{i_1 i_2 \dots i_n} a_{i_1 i_2 \dots i_n} = \frac{[2(n-k) - 1][2(n-k) - 3] \cdot \dots \cdot 3 \cdot 1}{(n-k)!} \sum_{i_1 i_2 \dots i_n} A_{i_1 i_2 \dots i_n} a_{i_1 i_2 \dots i_n} a_{i_1 i_2 \dots i_n} \quad (12a)$$

## § 2. PRŮDOVÉ POLE PŘI SYTĚNÍ BODOVÝM ZDROJOM

Obrátíme sa teraz k otázke, aké bude potenciálové pole v nekonečnom priestore vyplnenom homogénnou vodivou izotrópnou hmotou špecifického odporu  $\varrho_1$  a tiež homogénnou a izotrópnou guľovou vložkou špecifického odporu  $\varrho_2$  o polomere  $a$  pri sytění prúdom intenzity  $I$  v jednom bode  $Q$ , ktorý leží v oblasti mimo guľe (druhý zdroj intenzity —  $I$  si myslíme vo veľmi veľkej vzdialenosti). Vzdialenosť bodu  $Q$  od stredu guľe nech je  $R > a$  (v. obr. 1) a jeho súradnice v ľubovoľnej súradnicovej sústave, ktorá má počiatok  $O$  v strede uvažovanej guľe, nech sú  $\xi_1, \xi_2, \xi_3$ . Uvažujeme potenciál poľa v ľubo-

vlnom bode  $P$  o súradniciach  $x_1, x_2, x_3$  vo vzdialenosti  $r$  od stredu. Ak i vzdialenosť označíme  $QP = l$ , potenciál pri sytšení v tom istom bode  $Q$  prúdom tej istej intenzity  $I$  avšak bez uvažovanej guľovej vložky, by bol podľa rovnice (3), § 1

$$V_0 = \frac{I_0}{4\pi l} = \frac{q}{l}.$$

Ak je  $r < R$ , možno rozvinúť funkciu  $\frac{1}{l}$  v Taylorov rad podľa  $x_1, x_2, x_3$ . Berie do úvahy (v. obr. 1), že:

$$l = QP = OP',$$

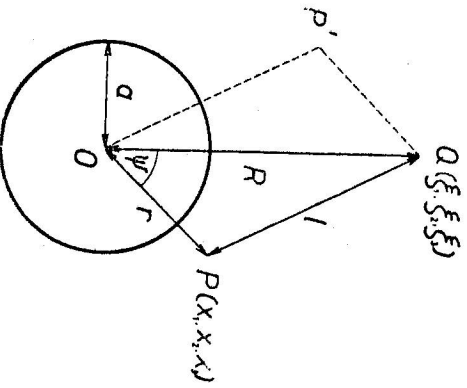
dostávame rad:

$$\begin{aligned} \frac{1}{l} &= \frac{1}{R} - \frac{1}{1!} \sum_i x_i \frac{\partial}{\partial x_i} \left( \frac{1}{R} \right) + \\ &+ \frac{1}{2!} \sum_{ik} x_i x_k \frac{\partial^2}{\partial x_i \partial x_k} \left( \frac{1}{R} \right) - \\ &- \frac{1}{3!} \sum_{ikl} x_i x_k x_l \frac{\partial^3}{\partial x_i \partial x_k \partial x_l} \left( \frac{1}{R} \right) + \dots \end{aligned}$$

a po úprave podľa rovnice (4), § 1

$$\begin{aligned} \frac{1}{l} &= \frac{1}{R} + \frac{r}{R^2} \sum_i A_i a_i + \frac{r^2}{R^3} \sum_{ik} A_{ik} a_i a_k + \\ &+ \frac{r^3}{R^4} \sum_{ikl} A_{ikl} a_i a_k a_l + \dots \end{aligned}$$

Obr. 1



kde  $a_i$  je jednotkový vektor v smere  $OP$ ,  $A_i$  jednotkový vektor v smere  $OQ$  a  $A_{ik}, A_{ikl}, \dots$  sú smerové tenzory, ktoré prislúchajú smernu  $OQ$ .

Podrobnejším rozborom sa dá dokázať, že tento rad konverguje rovnomerne v oblasti, ktorá leží vo vnútri guľovej plochy so stredom v bode  $O$  a o polomere menšom ako  $R$ . Preto pri všetkých hodnotách  $r < R$  možno vzhľadom na rovnice (9), § 1 písať:

$$V_{(0)} = \frac{q}{R} + \frac{q}{R^2} r \sum_i A_i a_i + \frac{2!}{3 \cdot 1 \cdot R^3} r^2 \sum_{ik} A_{ik} a_i a_k + \frac{3!}{5 \cdot 3 \cdot 1 \cdot R^4} r^3 \sum_{ikl} A_{ikl} a_i a_k a_l. \quad (1)$$

Keďže potenciál  $V_{(0)}$  vyhovuje Laplaceovej rovnici  $\Delta V_{(0)} = 0$  a keďže prvé úvahy platia pre ľubovoľné hodnoty  $r$  a  $R$ , ktoré vyhovujú podmienke  $r < R$  a tiež pre ľubovoľné konštantné  $A_i, A_{ik}$  atď., musí nevyhnutne platiť:

$$\Delta(r \cdot a_i) = \Delta x_i = 0, \Delta(r^2 a_{ik}) = 0, \Delta(r^3 a_{ikl}) = 0$$

atď.

Možno podotknúť, že rovnice (2) sú zovšeobecnením známých vzorcov teórie guľových funkcií

$$\Delta(r \cdot P_1(\cos \psi)) = 0, \Delta(r^2 P_2(\cos \psi)) = 0, \Delta(r^3 P_3(\cos \psi)) = 0 \quad (2a)$$

atď.

Rad 1. Predstavuje potenciál vnútri gule o polomere  $R$ , ak celý priestor je homogénne vyplnený hmotou špeciálneho odporu  $q_1$ . V dôsledku toho však, že časť priestoru vymedzená guľou polomera  $a$  je vyplnená hmotou inej vodivosti (špec. odpor  $q_2$ ), pôvodné neporušené pole sa zmení. Potenciál poľa  $V$  sa od neporušenej hodnoty líši, a preto kladíme:

$$1. \text{ v oblasti mimo uvažovanej gule } V = V_{(0)} + V'_{(0)},$$

$$2. \text{ vo vnútri gule } V = V''_{(0)}.$$

Funkcie  $V'_{(0)}$  a  $V''_{(0)}$  vyhovujú pritom v svojich oblastiach nevyhnutne Laplaceovej rovnici.

Potenciál  $V'_{(0)}$  hľadáme v tvare nekonečného radu

$$V'_{(0)} = C' + \frac{1}{r^2} \sum_i M_i a_i + \frac{1}{r^3} \sum_{ik} M_{ik} a_i a_k + \frac{1}{r^4} \sum_{ikl} M_{ikl} a_i a_k a_l + \dots, \quad (3a)$$

kde  $M_i, M_{ik}, M_{ikl}$  atď. sú tenzory vhodné volených multipólových momentov fiktívnych zdrojov umiestnených v strede gule. Je zrejmé, že potenciál  $V'_{(0)}$  potom skutočne vyhovuje Laplaceovej rovnici v celom priestore (okrem stredu gule) a ním určené pole nemá žiadne zdroje v oblasti mimo gule.

Potenciál  $V''_{(0)}$  predpokladáme tiež v tvare nekonečného radu a kladíme:

$$V''_{(0)} = C'' + r \sum_i m_i a_i + r^2 \sum_{ik} m_{ik} a_i a_k + r^3 \sum_{ikl} m_{ikl} a_i a_k a_l + \dots \quad (4a)$$

Z rovnice (2) vyplýva, že potenciál  $V''_{(0)}$  skutočne vyhovuje Laplaceovej rovnici a je tiež zrejmé, že ním určené pole nemá žiadne zdroje v oblasti vnútra gule ani vo vonkajšom priestore.

Pre zjednodušenie ďalších výpočtov zavedieme namiesto zložiek tenzorov  $M_i, M_{ik}, m_i, m_{ik}$  a iné, im úmerné hodnoty  $N_i, N_{ik}, n_i, n_{ik}$  a píšeme:

$$V'_{(0)} = C' + \frac{1}{r^2} \sum_i N_i^{(0)} a_i + \frac{2!}{3 \cdot 1 \cdot r^3} \sum_{ik} N_{ik}^{(0)} a_i a_k + \frac{3!}{5 \cdot 3 \cdot 1 \cdot r^4} \sum_{ikl} N_{ikl}^{(0)} a_i a_k a_l + \dots, \quad (3)$$

$$V''_{(0)} = C'' + r \sum_i n_i^{(0)} a_i + \frac{2!}{3 \cdot 1 \cdot r^2} \sum_{ik} n_{ik}^{(0)} a_i a_k + \frac{3!}{5 \cdot 3 \cdot 1 \cdot r^3} \sum_{ikl} n_{ikl}^{(0)} a_i a_k a_l + \dots \quad (4)$$

Na povrchu gule musia sa splniť tieto podmienky:

$$[V_{(0)} + V'_{(0)}]_{r=a} = [V''_{(0)}]_{r=a}, \quad (5)$$

$$\kappa \left[ \frac{\partial}{\partial r} (V_{(0)} + V'_{(0)}) \right]_{r=a} = \left[ \frac{\partial V''_{(0)}}{\partial r} \right]_{r=a}$$

kde  $\kappa = \epsilon_2/\epsilon_1$ . Tieto podmienky dávajú vzhľadom na (1), (3), (4) tieto sústavy rovníc:

$$\frac{qa}{R^2} A_i + \frac{1}{a^2} N_i^{(0)} = an_i^{(0)} \quad \frac{qa^2}{R^3} A_{ik} + \frac{1}{a^3} N_{ik}^{(0)} = a^2 n_{ik}^{(0)}$$

$$\kappa \left[ \frac{q}{R^2} A_i - \frac{2}{a^2} N_i^{(0)} \right] = n_i^{(0)} \quad \kappa \left[ \frac{2qa}{R^3} A_{ik} - \frac{3}{a^3} N_{ik}^{(0)} \right] = 2an_{ik}^{(0)}$$

$$\frac{qa^2}{R^4} A_{im} + \frac{1}{a^4} N_{im}^{(0)} = a^3 n_{im}^{(0)}$$

$$\kappa \left[ \frac{3qa^2}{R^4} A_{im} - \frac{4}{a^4} N_{im}^{(0)} \right] = 3a^2 n_{im}^{(0)}$$

atď.

Riešenia týchto sústav sú takého:

$$N_i^{(0)} = q \cdot \frac{a^2}{R^2} \frac{\kappa - 1}{2\kappa + 1} A_i$$

$$n_i^{(0)} = \frac{q}{R^2} \frac{3\kappa}{2\kappa + 1} A_i$$

$$N_{ik}^{(0)} = 2q \frac{a^5}{R^3} \frac{\kappa - 1}{3\kappa + 2} A_{ik}$$

$$n_{ik}^{(0)} = \frac{q}{R^3} \frac{5\kappa}{3\kappa + 2} A_{ik}$$

$$N_{im}^{(0)} = 3q \frac{a^7}{R^4} \frac{\kappa - 1}{4\kappa + 3} A_{im}$$

$$n_{im}^{(0)} = \frac{q}{R^4} \frac{7\kappa}{4\kappa + 3} A_{im}$$

atď.

Kladúc ešte  $C' = 0$ ,  $C'' = \frac{q}{R}$ , dostávame z rovníc (3) a (4)

$$V'_{(0)} = q \cdot \frac{\kappa - 1}{2\kappa + 1} \frac{a^2}{R^2 r^2} \sum_i A_i a_i + \frac{212}{3 \cdot 1} \frac{q(\kappa - 1)}{3\kappa + 2} \frac{a^5}{R^3 r^3} \sum_{i,k} A_{ik} a_{ik} + \frac{313}{5 \cdot 3 \cdot 1} \frac{q(\kappa - 1)}{4\kappa + 3} \frac{a}{R^4 r^4} \sum_{i,k,m} A_{ikm} a_{ikm} + \dots \quad (7a)$$

$$V''_{(0)} = \frac{q}{R} + \frac{3q\kappa}{2\kappa + 1} \frac{r}{R^2} \sum_i A_i a_i + \frac{21}{3 \cdot 1} \frac{5q\kappa}{3\kappa + 2} \frac{r^2}{R^3} \sum_{i,k} A_{ik} a_{ik} + \frac{31}{5 \cdot 3 \cdot 1} \frac{7q\kappa}{4\kappa + 3} \frac{r^3}{R^4} \sum_{i,k,m} A_{ikm} a_{ikm} + \dots \quad (8a)$$

Opirajúc sa o vzorec (11), § 1 tieto potenciály môžeme vyjadriť pomocou guloých funkcií:

$$V_{(0)} = \frac{q(\kappa - 1)}{2\kappa + 1} \frac{a^2}{R^2 r^2} P_1(\cos \psi) + \frac{2q(\kappa - 1)}{3\kappa + 2} \frac{a^5}{R^3 r^3} P_2(\cos \psi) + \frac{3q(\kappa - 1)}{4\kappa + 3} \frac{a^8}{R^4 r^4} P_3(\cos \psi) + \dots \quad (7)$$

$$V''_{(0)} = \frac{q}{R} + \frac{3q\kappa}{2\kappa + 1} \frac{r}{R^2} P_1(\cos \psi) + \frac{5q\kappa}{3\kappa + 2} \frac{r^2}{R^3} P_2(\cos \psi) + \frac{7q\kappa}{4\kappa + 3} \frac{r^3}{R^4} P_3(\cos \psi) + \dots \quad (8)$$

$$|P_n(\cos \psi)| \leq 1,$$

Opirajúc sa o známú vlastnosť Legendreových polynómov bez ťažkosti možno dokázať, že prvý z týchto radov konverguje nezávisle od  $\kappa$  a  $\psi$  absolútne pri všetkých hodnotách  $r$ , ktoré vyhovujú nerovnosti

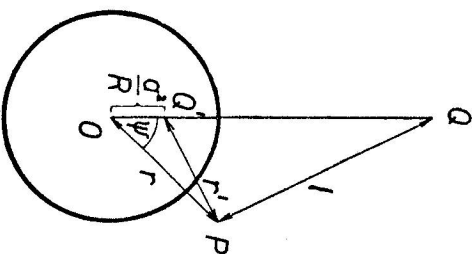
$$r > \frac{a^2}{R},$$

druhý pri všetkých hodnotách  $r < R$ . To isté platí aj o deriváciách týchto radov podľa  $r$ . Tým sme dodatočne dokázali správnosť predpokladov 3a a 4a, ako aj vývo-  
dov, ktoré sme z nich urobili.

Potenciál v ľubovoľnom bode  $P$  vonkajšej oblasti teda je:

$$V = \frac{q}{r} + V'_{(0)} \quad (9)$$

Obr. 2



a rad 1. slúži len pre odvodenie radov pre  $V'_{(0)}$  a  $V''_{(0)}$ , kým pre ďalšie praktické účely možno používať podstatne jednoduchší tvar, ktorý sme použili v rovnici (9).

Rad 7 vyjadruje prídavný potenciál  $V'_{(0)}$ . Tento možno napísať v inom tvare, ktorý je v určitých prípadoch pre praktické účely výhodnejší. Členy tohto radu sú potenciály fiktívneho dipólového, kvadrupólového a vyšších multipólových zdrojov v strede gule. Dipólový zdroj môžeme si teraz nahradiť dvoma rovnakými bodovými zdrojmi opačného znamienka, z ktorých jeden nech je v strede gule, druhý v bode  $Q'$  inverzne združenom s bodom  $Q$  (v. obr. 2). Teda je:

$$OQ' = \frac{a^2}{R}.$$

Ak si označíme vzdialenosť  $Q'P = r'$ , potenciál týchto dvoch fiktívnych zdrojov v bode  $P$  je:

$$q' \left( \frac{1}{r'} - \frac{1}{r} \right) = \frac{q'a^2}{R \cdot r'^2} P_1(\cos \psi) + \frac{q'a^4}{R^2 r'^2} P_2(\cos \psi) + \frac{q'a^6}{R^3 r'^2} P_3(\cos \psi) + \dots \quad (10)$$

Zvolíme si teraz  $q'$  tak, aby prvý člen tohto radu sa zhodoval s prvým členom radu (7), teda:

$$q' = q \cdot \frac{a}{R} \frac{\kappa - 1}{2\kappa + 1} \quad (11)$$

Potom rad (7) môžeme písať takto:

$$V'_{(0)} = q' \left( \frac{1}{r'} - \frac{1}{r} \right) + \left[ \frac{2(\kappa - 1)}{3\kappa + 2} - \frac{\kappa - 1}{2\kappa + 1} \right] \frac{a^2 q}{R^2 s^2} P_2(\cos \psi) + \left[ \frac{3(\kappa - 1)}{4\kappa + 3} - \frac{(\kappa - 1)}{2\kappa + 1} \right] \frac{a^2 q}{R^4 s^4} P_3(\cos \psi) + \dots$$

a po jednoduchej úprave

$$V'_{(0)} = q' \left( \frac{1}{r'} - \frac{1}{r} \right) + q \frac{\kappa(\kappa - 1)}{(2\kappa + 1)(3\kappa + 2)} \frac{a^2}{R^2 s^2} P_2(\cos \psi) + q \frac{2\kappa(\kappa - 1)}{(2\kappa + 1)(4\kappa + 3)} \frac{a^2}{R^4 s^4} P_3(\cos \psi) + \dots \quad (12)$$

V prípade dokonale vodivej gule ( $\varrho_2 = 0$ ) je  $\kappa = 0$ , a preto

$$V'_{(0)} = -\frac{qa}{R} \left( \frac{1}{r'} - \frac{1}{r} \right),$$

takže prídavný potenciál sa dá vyjadriť v uzavretom tvare. V prípade gule dokonale nevodivej ( $\kappa \rightarrow \infty$ ) je zase podľa rovnice (7)

$$V'_{(0)} = \frac{1}{2} \frac{qa^3}{R^2 s^2} P_1(\cos \psi) + \frac{2}{3} \frac{qa^5}{R^3 s^2} P_2(\cos \psi) + \frac{3}{4} \frac{qa^7}{R^4 s^4} P_3(\cos \psi) + \dots$$

kým podľa (12)

$$V'_{(0)} = \frac{qa}{2R} \left( \frac{1}{r'} - \frac{1}{r} \right) + \frac{1}{6} \frac{qa^5}{R^3 s^2} P_2(\cos \psi) + \frac{1}{4} \frac{qa^7}{R^4 s^4} P_3(\cos \psi) + \dots$$

Pre praktické účely môže aj v tomto prípade druhý tvar radu poskytovať určité výhody oproti prvému tvaru.

Vyrazy (7a), (8a), prípadne (7) (8) a (9) pre potenciál v oblasti mimo gule a vo vnútri nej predstavujú súčasne riešenie analogického problému elektrostatického poľa bodového náboja v homogénnom dielektriku, ktoré vyplňuje celý priestor s homogénnou guľovou vložkou o inej dielektrickej konstante, ak sa náboj nachádza v oblasti mimo gule.

### § 3. POLE PRI SYSTÉMI DIPÓLOVÝM ZDROJOM

Ak zdrojom poľa je dipól o momente ( $M_1, M_2, M_3$ ) umiestený v bode  $Q$  (v obr. 1), potenciál neporušeného poľa v bode  $P$  môžeme napísať v tvare:

$$V_{(0)} = -\frac{1}{1!} \sum_i M_i \frac{\partial}{\partial x_i} \left( \frac{1}{r} \right) \quad (1)$$

Avšak už v predchádzajúcom paragrafe sme ukázali, že pri všetkých  $r < R$  platí:

$$\frac{1}{r} = \frac{1}{R} + \frac{1}{R} \sum_k A_k x_k + \frac{1}{R^2} \sum_k A_k x_k x_l + \frac{1}{R^3} \sum_{klm} A_{klm} x_k x_l x_m + \dots \quad (2)$$

príčom  $A_k, A_{kl}, A_{klm}, \dots$  sú nezávislé od súradníc  $x_1, x_2, x_3$ . Každý člen tohto radu je teda homogénny polynóm v premenných  $x_i$  a ľahko sa prevedieme, že

$$\frac{\partial}{\partial x_l} \sum_{kl} A_{kl} x_k x_l = \sum_{kl} A_{kl} (\delta_{lk} x_l + \delta_{lk} x_k) = 2 \sum_k A_{lk} x_k$$

$$\frac{\partial}{\partial x_l} \sum_{klm} A_{klm} x_k x_l x_m = 3 \cdot \sum_{kl} A_{kl} x_k x_l$$

atď.

Vzhľadom na to, že  $x_k = r \cdot a_k$ , platí za tých istých podmienok ako 2.

$$V_{(1)} = -\frac{1}{R^2} \sum_i A_i M_i - \frac{2r}{R^3} \sum_{ik} A_{ik} M_i a_k - \frac{3r^2}{R^4} \sum_{ikl} A_{ikl} M_i a_k a_l - \dots$$

$$-\frac{4r^3}{R^5} \sum_{iklm} A_{iklm} M_i a_k a_l a_m - \dots$$

Pre ďalšiu úpravu tohto radu použijeme ešte vzorce (12), § 1:

$$V_{(1)} = -\frac{1}{R^2} \sum_i A_i M_i - \frac{2!}{1} \cdot \frac{r}{R^3} \sum_{ik} A_{ik} M_i a_k - \frac{3!}{3 \cdot 1} \frac{r^2}{R^4} \sum_{ikl} A_{ikl} M_i a_k a_l - \dots$$

$$-\frac{4!}{5 \cdot 3 \cdot 1} \frac{r^3}{R^5} \sum_{iklm} A_{iklm} M_i a_k a_l a_m - \dots \quad (4)$$

a tento rad konverguje opäť nezávisle od uhla  $\psi$  pri všetkých hodnotách  $r < R$ .

Prídavný potenciál  $V'_{(1)}$  v oblasti mimo gule hľadáme v tvare nekonečného radu

$$V'_{(1)} = C'_{(1)} + \frac{1}{r^2} \sum_k N_k^{(1)} a_k + \frac{2!}{3 \cdot 1} \cdot \frac{1}{r^3} \sum_{kl} N_{kl}^{(1)} a_k a_l + \frac{3!}{5 \cdot 3 \cdot 1} \cdot \frac{1}{r^4} \sum_{klm} N_{klm}^{(1)} a_k a_l a_m, \quad (5)$$

ktorého členy sú potenciály dipólového, kvadrupólového a vyšších multipólových fiktívnych zdrojov umiestnených v strede gule, potenciál  $V_{(0)}^n$  vo vnútri gule v tvare radu

$$V_{(0)}^n = C_1^n + r \sum_k n_k^{(0)} a_k + \frac{2!}{3 \cdot 1} r^2 \sum_{kl} n_{kl}^{(0)} a_{kl} + \frac{3!}{5 \cdot 3 \cdot 1} r^3 \sum_{klm} n_{klm}^{(0)} a_{klm} + \dots \quad (6)$$

Z tých istých príčin ako v predchádzajúcom paragrafe je bezprostredne jasné, že  $V_{(0)}^n$  ako aj  $V_{(0)}^n$  vyhovujú v oblastiach, v ktorých sú definované, Laplaceovej diferenciálnej rovnici.

Na povrchu gule musia byť splnené podmienky:

$$\begin{aligned} [V_{(0)} + V_{(0)}]_{r=a} &= [V_{(0)}]_{r=a} \\ * \left[ \frac{\partial}{\partial r} (V_{(0)} + V_{(0)}^n) \right]_{r=a} &= * \left[ \frac{\partial V_{(0)}^n}{\partial r} \right]_{r=a} \end{aligned} \quad (7)$$

Podobne ako v § 2. vyplývajú vzhľadom na tieto podmienky z rovníc (4) (5)

a (6) sústavy vždy dvoch lineárnych rovníc pre neznáme  $(N_k, n_k), (N_{kl}, n_{kl}), (N_{klm}, n_{klm})$  atď., ktorých riešením dostávame:

$$\begin{aligned} N_k^{(0)} &= -2 \cdot 1 \cdot \frac{a^2}{R^3} \frac{\kappa-1}{2\kappa+1} \sum_i A_{ik} M_i & n_k^{(0)} &= -\frac{3 \cdot 2}{R^3} \frac{\kappa}{2\kappa+1} \sum_i A_{ik} M_i, \\ N_{kl}^{(0)} &= -3 \cdot 2 \cdot \frac{a^2}{R^4} \frac{\kappa-1}{3\kappa+2} \sum_i A_{ikl} M_i & n_{kl}^{(0)} &= -\frac{5 \cdot 3}{R^4} \frac{\kappa}{3\kappa+2} \sum_i A_{ikl} M_i, \\ N_{klm}^{(0)} &= -4 \cdot 3 \cdot \frac{a^2}{R^5} \frac{\kappa-1}{4\kappa+3} \sum_i A_{iklm} M_i & n_{klm}^{(0)} &= -\frac{7 \cdot 4}{R^5} \frac{\kappa}{4\kappa+3} \sum_i A_{iklm} M_i. \end{aligned} \quad (8)$$

Ďalej musí byť:

$$C_{(0)}^n = \lim_{r \rightarrow \infty} V_{(0)}^n = 0$$

a v dôsledku toho:

$$C_{(0)}^n = -\frac{1}{R^2} \sum_i A_i M_i.$$

Po vsadení zložísk multipólových momentov vyjadrených vzorcami (8) rady (5) a (6) pre potenciál  $V_{(0)}^n$  a  $V_{(0)}^n$  nadobúdajú tvar:

$$\begin{aligned} V_{(0)}^n &= -\frac{2!}{1} \frac{\kappa-1}{2\kappa+1} \frac{a^2}{R^3} \sum_{kl} A_{ikl} M_i a_k - \frac{3!}{3 \cdot 1} \frac{\kappa-1}{3\kappa+2} \frac{a^3}{R^4} \sum_{klm} A_{iklm} M_i a_{kl} - \\ &\quad - \frac{4!}{5 \cdot 3 \cdot 1} \frac{\kappa-1}{4\kappa+3} \frac{a^4}{R^5} \sum_{klmn} A_{iklmn} M_i a_{klmn} - \dots \end{aligned} \quad (9)$$

$$\begin{aligned} V_{(0)}^n &= -\frac{1}{R^2} \sum_i A_i M_i - \frac{2!}{1} \frac{\kappa}{2\kappa+1} \frac{r}{R^3} \sum_{kl} A_{ikl} M_i a_k - \\ &\quad - \frac{3!}{3 \cdot 1} \frac{\kappa}{3\kappa+2} \frac{r^2}{R^4} \sum_{klm} A_{iklm} M_i a_{kl} - \frac{4!}{5 \cdot 3 \cdot 1} \frac{\kappa}{4\kappa+3} \frac{r^3}{R^5} \sum_{klmn} A_{iklmn} M_i a_{klmn} - \dots \end{aligned} \quad (10)$$

Otvorenou zostáva ešte otázka konvergence radov (4) (9) a (10). Podrobnejšou úvahou, ktorú tu pre krátkosť neuvádzame, možno dokázať vychádzať z konvergence radu (2) pri  $r < R$ , že aj rad (4) konverguje nezávisle od voľby smeru  $(a_1, a_2, a_3)$  pri všetkých hodnotách  $r$  vyhovujúcich podmienke  $r < R$ . Opierajúc sa o tento fakt bez zvláštnych ťažkostí dokážeme, že rad (9) konverguje pri všetkých hodnotách

$$r > \frac{a^2}{R}$$

a rad (10) zase pri všetkých hodnotách

$$r < R.$$

To isté platí o radoch, ktoré dostávame derivovaním radov (9) a (10) podľa  $r$ . Preto za predpokladu  $R > a$  možno vždy vymedziť takú oblasť, vo vnútri ktorej leží celá uvažovaná guľová plocha a v ktorej všetky tri rady  $V_{(0)}$ ,  $V_{(0)}^n$  a  $V_{(0)}^n$ , ako aj ich derivácie konvergujú rovnomerne, čím sme dodatočne dokázali správnosť predpokladov, o ktoré sme sa pri úvahách tohto paragrafu opierali.

#### § 4. POLE PRI SÝTENÍ KVADRUPÓLOVÝM A OKTAPÓLOVÝM ZDROJOM

V bode  $Q$ , obr. 1, majme kvadrupólový zdroj prúdu. Potenciál neporušeného poľa v bode  $P$  je podľa vzorca (3b), § 1.

$$V_{(0)} = \frac{1}{2!} \sum_{ik} M_{ik} \frac{\partial^2}{\partial x_i \partial x_k} \left( \frac{1}{l} \right) \quad (1)$$

Odvodili sme však už rad pre  $\frac{1}{l}$  (v. § 2 a § 3) v tvare:

$$\frac{1}{l} = \frac{1}{R} + \frac{1}{R^2} \sum_i A_i x_i + \frac{1}{R^3} \sum_{lm} A_{lm} x_l x_m + \frac{1}{R^4} \sum_{lmn} A_{lmn} x_l x_m x_n + \dots \quad (2)$$



a zistili sme jeho konvergenciu pri  $r < R$ . Presvedčíme sa ľahko, že:

$$\frac{\partial^2}{\partial x_i \partial x_k} \sum_l A_l x_l = 0$$

$$\frac{\partial^2}{\partial x_i \partial x_k} \sum_{lm} A_{lm} x_l x_m = 2 \cdot 1 \cdot A_{ik}$$

$$\frac{\partial^2}{\partial x_i \partial x_k} \sum_{lmn} A_{lmn} x_l x_m x_n = 3 \cdot 2 \sum_l A_{ilm} x_l \quad (3)$$

$$\frac{\partial^2}{\partial x_i \partial x_k} \sum_{lmnp} A_{lmnp} x_l x_m x_n x_p = 4 \cdot 3 \cdot \sum_{lmn} A_{ilmn} x_l x_m$$

atd.

Vsadiac rad (2) do vzorca (1) a používajúc vzťahy (3) dostávame po jednoduchéj, úplne analogickej úprave postupu v § 2 a § 3 pre  $V_{(2)}$  tento rad:

$$V_{(2)} = \frac{1}{R^3} \sum_{ikl} A_{ik} M_{ik} + \frac{3 \cdot 2 \cdot 1}{2!} \frac{r}{R^2} \sum_{ikl} A_{ikl} M_{ik} a_l + \frac{4 \cdot 3 \cdot 2!}{2!} \frac{r^2}{3 \cdot 1} \sum_{iklm} A_{iklm} M_{ik} a_{lm} + \dots \quad (4)$$

Pridatný potenciál  $V'_{(2)}$  možno písať ako nekonečný rad

$$V'_{(2)} = C'_{(2)} + \frac{1!}{1} \frac{1}{r^2} \sum_l N^{(2)} a_l + \frac{2!}{3 \cdot 1} \frac{1}{r^3} \sum_{lm} N^{(2)}_{lm} a_{lm} + \dots \quad (5)$$

a potenciál  $V''_{(2)}$  vo vnútri gule ako rad

$$V''_{(2)} = C''_{(2)} + r \cdot \sum_l n_l^{(2)} a_l + \frac{2!}{3 \cdot 1} \sum_{lm} n_{lm}^{(2)} a_{lm} + \dots \quad (6)$$

V dôsledku rovníc (2) v § 2 obe tieto potenciálové funkcie vyhovujú Laplaceovej rovnici. Práve tak ako v predchádzajúcich paragrafoch, hraničné podmienky umožňujú vyjadriť zložky tenzorov

$N_{lm}^{(2)}, N_{lmn}^{(2)}, \dots$  prípadne  $n_l^{(2)}, n_{lm}^{(2)}, \dots$

$M_{ik}, A_{ik}, A_{ikl}, A_{iklm}, \dots$

Vsadením takto zistených hodnôt  $N$  do radu (5) potom dostávame:

$$V'_{(2)} = \frac{3 \cdot 2 \cdot 1}{2 \cdot 1} \frac{r-1}{2r+1} \frac{r^2}{R^4 r^2} \sum_{ikl} A_{ikl} M_{ik} a_l + \frac{4 \cdot 3 \cdot 2!}{3 \cdot 1} \frac{r^2}{R^5 r^3} \frac{r-1}{3r+2} \sum_{iklm} A_{iklm} M_{ik} a_{lm} + \dots \quad (7)$$

Pri sytění oktapólovým zdrojom je potenciál neporušeného póla podľa vzorca (3e), § 1.

$$V_{(3)} = -\frac{1}{3!} \sum_{ikl} M_{ikl} \frac{\partial^3}{\partial x_i \partial x_k \partial x_l} \left( \frac{1}{r} \right),$$

ktorý za tých istých podmienok ako predtým ( $r < R$ ) môžeme písať ako konvergentný rad

$$V_{(3)} = -\frac{1}{R^3} \sum_{ikl} A_{ikl} N_{ikl} - \frac{4r}{R^5} \sum_{iklm} A_{iklm} M_{ikl} a_m - \dots \quad (8)$$

Ak sa obmedzíme na prvý člen príslušného radu, čo úplne stačí pre všetky ďalšie účely, môžeme prídavný potenciál vo vonkajšom priestore vyjadriť vzorcom:

$$V'_{(3)} = -\frac{4(r-1)}{2r+1} \frac{r^3}{R^5 r^2} \sum_{iklm} A_{iklm} M_{ikl} a_m \quad (9)$$

Z tvaru tohto vzorca po vhodnej úprave a porovnaní so vzorcami (3a) a (4), § 1 vyplýva, že je to potenciál dipólu umiestneného v strede gule, ktorého moment má zložky:

$$q_m^{(3)} = -4 \cdot \frac{r-1}{2r+1} \frac{r^3}{R^5} \sum_{ikl} A_{iklm} M_{ikl} \quad (10)$$

#### § 5. PREHLAD A INTERPRETÁCIA VÝSLEDKOV

Potenciál  $V_{(0)}$  môžeme interpretovať ako potenciál fiktívneho dipólového, kvadrupólového, oktapólového a vyšších multipólových zdrojov umiestnených v strede gule. Zložky  $q_i^{(0)}, q_{ik}^{(0)}, q_{ikl}^{(0)}$  atd. momentov týchto zdrojov dostávame z jednotlivých členov radu (7a), § 2. K tomu účelu použijeme vzorec pre potenciál multipólových zdrojov (3a) až (3d), v ktorých však píšeme  $x_i$  namiesto  $\xi_i$ ,  $r$  namiesto  $R$ ,  $q_i^{(0)}, q_{ik}^{(0)}, q_{ikl}^{(0)}$  atd., namiesto  $M_i, M_{ik}, M_{ikl}, \dots$  a parciálne derivácie podľa súradníc  $x_i, x_k$  vyjadriť pomocou zložiek smerových tenzorov  $a_i, a_{ik}, a_{ikl}$  atd. Takto dostávame:

$$\begin{aligned} \sum_l q_l^{(0)} a_l &= q \cdot \frac{r-1}{2r+1} \frac{r^3}{R^2} \sum_l A_l a_l, \\ \sum_{ik} q_{ik}^{(0)} a_{ik} &= \frac{2!}{3 \cdot 1} \frac{r-1}{3r+2} \frac{r^5}{R^3} \sum_{ik} A_{ik} a_{ik}, \\ \sum_{ikl} q_{ikl}^{(0)} a_{ikl} &= \frac{3!}{5 \cdot 3 \cdot 1} \frac{r-1}{4r+3} \frac{r^7}{R^4} \sum_{ikl} A_{ikl} a_{ikl} \end{aligned} \quad (1)$$

a preto kladíme:

$$q_i^{(0)} = q \cdot \frac{\kappa - 1}{2\kappa + 1} \frac{a^5}{R^2} A_i \quad q_{ik}^{(0)} = \frac{4}{3} q \frac{\kappa - 1}{2\kappa + 2} \frac{a^5}{R^2} A_{ik}$$

$$q_{ikl}^{(0)} = \frac{6}{5} q \frac{\kappa - 1}{4\kappa + 3} \frac{a^7}{R^4} A_{ikl} \dots \quad (2)$$

Práve tak môžeme interpretovať aj potenciál  $V_{(3)}$  vyjadrený radom (9), § 3 a vznikajúci pri sytšení dipólovým zdrojom ako potenciál radu fiktívnych zdrojov, ktorých momenty vyjadrieme tenzormi  $q_i^{(3)}$ ,  $q_{ik}^{(3)}$ ,  $q_{ikl}^{(3)}$  atď. Tým istým spôsobom ako v predchádzajúcom prípade dostávame:

$$q_i^{(3)} = -2 \frac{\kappa - 1}{2\kappa + 1} \frac{a^2}{R^3} \sum_k A_{ik} M_k, \quad q_{ik}^{(3)} = -4 \frac{\kappa - 1}{3\kappa + 2} \frac{a^5}{R^4} \sum_l A_{ikl} M_l,$$

$$q_{ikl}^{(3)} = -\frac{24}{5} \frac{\kappa - 1}{4\kappa + 3} \frac{a^7}{R^5} \sum_m A_{iklm} M_m. \quad (3)$$

Pridané potenciály  $V_{(2)}$  a  $V_{(3)}$  vznikajúce pri sytšení kvadrupólovým, resp. oktapólovým zdrojom možno opäť považovať ako súčty potenciálov fiktívnych dipólových, kvadrupólových, oktapólových a vyšších multipólových zdrojov  $q_i^{(2)}$ ,  $q_{ik}^{(2)}$ ,  $q_{ikl}^{(2)}$ , ... prípadne  $q_i^{(3)}$ ,  $q_{ik}^{(3)}$ ,  $q_{ikl}^{(3)}$ , ... Ich momenty dostávame porovnaním členov radu (7), resp. výrazu (9), § 4 s výrazmi (1) tohto paragrafu:

$$q_i^{(2)} = 3 \cdot \frac{\kappa - 1}{2\kappa + 1} \cdot \frac{a^3}{R^4} \sum_k A_{ik} M_k, \quad (4)$$

$$q_{ik}^{(2)} = 8 \cdot \frac{\kappa - 1}{3\kappa + 2} \frac{a^5}{R^5} \sum_{lm} A_{iklm} M_{lm},$$

$$q_{ikl}^{(2)} = -4 \frac{\kappa - 1}{2\kappa + 1} \frac{a^5}{R^5} \sum_{klm} A_{iklm} M_{klm}. \quad (5)$$

V ďalšom sa budeme často opierať o terminológiu používanú v elementárnej teórii elektrostatického poľa pri známej Thomsonovej metóde zrkadlenia na rovine. V tomto zmysle sa môžeme preto vyjadrovať tak, že zrkadlením bodového zdroja  $q$  na guľovej ploche vzniká v jej strednej fiktívny dipól  $q_i^{(0)}$ , kvadrupól  $q_{ik}^{(0)}$ , oktapól  $q_{ikl}^{(0)}$  a ďalšie vyššie multipóly, zrkadlením dipólu  $M_i$  dipól  $q_i^{(1)}$ , kvadrupól  $q_{ik}^{(1)}$ , oktapól  $q_{ikl}^{(1)}$  atď. Z predchádzajúcich úvah vysvitá, že pri sytšení akýmkoľvek multipólovým zdrojom vznikajú zrkadlením na guľovej ploche vždy všetky multipóly počnajúce dipólom, nevzniká však nikdy fiktívny pól. (Prítom stále predpokladáme, že sytšenie v oblasti  $R > a$ , neprihliadajúc na triválny prípad  $\kappa = 1$ .)

## § 6. ZRKADLENIE MULTIPÓLOVÝCH TENZOROV NA ROVINE A PRÚDOVÉ POLE V HOMOGENNOM POLOPRIESTORE PRI SYTŠENÍ MULTIPÓLOVÝM ZDROJOM

Majme rovinu  $S$  a bod  $Q$ , ktorý neleží v nej (v. obr. 3). Vzdialenosť tohto bodu od danej roviny nech je  $h$  a zrkadlením uvažovaného bodu na rovine dostávame bod  $\bar{Q}$ . Zvolíme si pravouhlú sústavu súradníc  $(x_1, x_2, x_3)$  s počiatkom v bode  $O$  a s osou  $x_3$ , ktorej kladný smer nech sa zhoduje so smerom  $OQ$ . Nech je  $P$  ľubovoľný bod priestoru, ktorého súradnice v danej sústave sú  $(x_1, x_2, x_3)$ . Vzdialenosť tohto bodu od bodu  $Q$  označíme  $r$ , jeho vzdialenosť od  $\bar{Q}$  označíme  $\bar{r}$ .

Definujeme všeobecné smerové tenzory prislúchajúce smerom  $QP$  a  $\bar{Q}P$  v zmysle vzorcov (4), § 1 v danej súradnicovej sústave takto:

$$a_{i_1, i_2, \dots, i_n} = \frac{\partial^n}{\partial x_{i_1} \partial x_{i_2} \dots \partial x_{i_n}} \left( \frac{1}{r} \right),$$

$$\bar{a}_{i_1, i_2, \dots, i_n} = \frac{\partial^n}{\partial x_{i_1} \partial x_{i_2} \dots \partial x_{i_n}} \left( \frac{1}{\bar{r}} \right). \quad (1)$$

Ak zavedieme označovanie

$$\frac{1}{r} = \frac{1}{\sqrt{x_1^2 + (h + x_2)^2 + x_3^2}} = f(x_1, x_2, x_3),$$

zrejme platí:

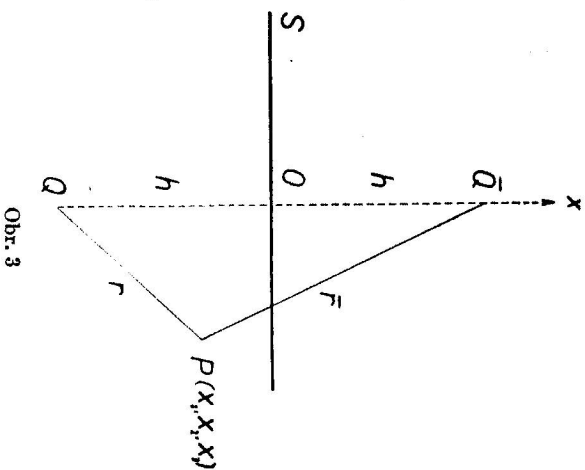
$$\frac{1}{\bar{r}} = \frac{1}{\sqrt{x_1^2 + (h - x_2)^2 + x_3^2}} = f(x_1, -x_2, x_3),$$

a preto z definícií 1. vyplýva:

$$\bar{a}_{i_1, i_2, \dots, i_n} = (-1)^{\theta_{i_1, 2} + \theta_{i_2, 2} + \dots + \theta_{i_n, 2}} \frac{\partial^{n+1}}{\partial x_{i_1} \partial x_{i_2} \dots \partial x_{i_n}} \cdot a_{i_1, i_2, \dots, i_n}.$$

Ak bod  $P$  leží v rovine  $S$ , teda v uvažovanej pravouhlej súradnicovej sústave, je:

$$\bar{a}_{i_1, i_2, \dots, i_n} = (-1)^{\theta_{i_1, 2} + \theta_{i_2, 2} + \dots + \theta_{i_n, 2}} \cdot a_{i_1, i_2, \dots, i_n}. \quad (2)$$



Obr. 3

Vzorec (2) môžeme vysloviť takto: Ak bod  $P$  leží v rovine  $S$ , zložky tenzoru  $a$  sa čo do absolútnej hodnoty rovnajú príslušným zložkám tenzoru  $a$  a majú to isté alebo opačné znamienko podľa toho, či index 2 vystupuje v rade indexov  $i_1, i_2, \dots, i_n$  párnny alebo nepárny počet krát.

Uvažujme teraz homogénnu polopriestor ohraničený rovinou  $S$  a vyplnený hmotou špeciálneho odporu  $\varrho$ . Nech táto hmota vyplňuje časť priestoru  $x_2 < 0$ . V bode  $Q$  majme multipólový zdroj prúdu o momente  $M_{i_1, i_2, \dots, i_n}$ . Potenciál prúdového poľa v uvažovanom polopriestore hľadáme v tvare:

$$V = \frac{(-1)^n}{n!} \sum_{i_1, \dots, i_n} \left[ M_{i_1, \dots, i_n} \cdot \frac{\partial^n}{\partial x_1 \dots \partial x_n} \left( \frac{1}{r} \right) + \bar{M}_{i_1, \dots, i_n} \frac{\partial^n}{\partial x_1 \dots \partial x_n} \left( \frac{1}{r} \right) \right]. \quad (3)$$

Tento tvar vyhovuje podmienke, že vo veľmi malých vzdialenostiach od bodu  $Q$  pole musí byť také, ako keby celý priestor bol vyplnený hmotou špeciálneho odporu  $\varrho$ . Zložky tenzoru fiktívneho multipólového momentu  $\bar{M}_{i_1, i_2, \dots, i_n}$  určíme z podmienky:

$$\left( \frac{\partial V}{\partial x_2} \right)_{x_2=0} = 0,$$

teda:

$$\sum_{i_1, \dots, i_n} \left[ M_{i_1, \dots, i_n} \frac{\partial^{n+1}}{\partial x_1 \dots \partial x_n} \left( \frac{1}{r} \right) + \bar{M}_{i_1, \dots, i_n} \frac{\partial^{n+1}}{\partial x_2 \partial x_1 \dots \partial x_n} \left( \frac{1}{r} \right) \right] = 0,$$

pri  $x_2 = 0$ . V dôsledku vzorcov (1) a (2) možno túto podmienku písať v tomto tvare:

$$\sum_{i_1, i_2, \dots, i_n} [M_{i_1, i_2, \dots, i_n} + (-1)^{1+\theta_{i_1, 2} + \theta_{i_2, 2} + \dots + \theta_{i_n, 2}} \cdot \bar{M}_{i_1, i_2, \dots, i_n}] \tau_{i_1, i_2, \dots, i_n} = 0,$$

z čoho:

$$\bar{M}_{i_1, i_2, \dots, i_n} = (-1)^{\theta_{i_1, 2} + \theta_{i_2, 2} + \dots + \theta_{i_n, 2}} \cdot M_{i_1, i_2, \dots, i_n} \quad (4)$$

V ďalšom budeme tiež hovoriť, že tenzor  $\bar{M}$  je zrkadlením (alebo vzniká zrkadlením) tenzoru  $M$  na rovine  $S$ . Vzorec (4) môžeme vysloviť takto: zložky zrkadleného tenzoru multipólového momentu majú v uvažovanej súradnicovej sústave tú istú absolútnu hodnotu ako zložky pôvodného tenzoru. Ak sa index 2 vyskytuje v rade indexov  $i_1, i_2, \dots, i_n$   $k$  krát, zložky zrkadleného tenzoru majú to isté alebo opačné znamienko ako zložky pôvodného tenzoru, podľa toho, či je  $k$  párne alebo nepárne.

Keďže potenciál  $V$ , ktorý sme definovali rovnicou (3) vyhovuje okrem uvedených podmienok tiež Laplaceovej rovnici, rovnice (3) a (4) predstavujú riešenie otázky prúdového poľa v homogénnom polopriestore.

Rovnicu (3) môžeme vzhľadom na vzorec (1) písať tiež takto:

$$V = \frac{1}{n^{n+1}} \sum_{i_1, i_2, \dots, i_n} M_{i_1, i_2, \dots, i_n} \cdot a_{i_1, i_2, \dots, i_n} + \frac{1}{n^{n+1}} \sum_{i_1, i_2, \dots, i_n} \bar{M}_{i_1, i_2, \dots, i_n} \cdot \bar{a}_{i_1, i_2, \dots, i_n} \quad (5)$$

Prvý člen na pravej strane tejto rovnice predstavuje potenciál multipólového zdroja v homogénnom priestore, druhý člen potenciál fiktívneho zrkadleného multipólového zdroja, ktorý si myslíme v bode  $Q$ . Rovnica (5) vyjadruje potenciál v polopriestore  $x_2 \leq 0$ , teda aj v rovine  $S$ . V bodoch tejto samej roviny je  $r = r$ . Okrem toho v dôsledku rovnice (2) a (4) tu tiež platí:

$$\bar{M}_{i_1, i_2, \dots, i_n} \cdot a_{i_1, i_2, \dots, i_n} = \bar{M}_{i_1, i_2, \dots, i_n} \cdot \bar{a}_{i_1, i_2, \dots, i_n},$$

preto potenciál v rovine  $S$  môžeme vyjadriť vzorcom:

$$V_S = \frac{2}{n^{n+1}} \sum_{i_1, i_2, \dots, i_n} M_{i_1, i_2, \dots, i_n} \cdot a_{i_1, i_2, \dots, i_n}. \quad (6)$$

Potenciál v ľubovoľnom bode roviny ohraničujúcej nekonečný homogénnu polopriestor je teda dvakrát taký ako by bol potenciál v tomto bode pri sytíení tým istým multipólovým zdrojom, ak by celý priestor bol vyplnený hmotou tej istej vodivosti.

#### § 7. VÝPOČET PRIBLIŽNÝCH TEORETICKÝCH HODNÔT ZDANLIVÉHO ŠPECIFICKÉHO ODPORU PRI ODPOROVÝCH MĚRANIACH NAD STŘEDOM GULE

Na obr. 4. vodorovná priamka  $S$  znázorňuje zemský povrch, ktorý si myslíme dokonale rovinný. Prostredie pod povrchom pozostáva z dvoch oblastí, a to z homogénnej gule špeciálneho odporu  $\varrho_2$  a zo zbyvajúcej časti polopriestoru vyplnenej homogénnou hmotou špeciálneho odporu  $\varrho_1$ . Stred gule je v bode  $O$ , v hĺbke  $h$  pod povrchom, jej polomer označujeme  $a$ . Kolmice spustená z bodu  $O$  na rovinu zemského povrchu ho pretína v bode  $C$ . V bodoch  $A$  a  $B$  majme sýtny elektródy, pričom nech je  $AC = BC$  a obe elektródy ležia na priamke  $S$ , ktorá prechádza bodom  $C$ . Skúmame rozdiel potenciálu v bodoch  $M$  a  $N$ , v ktorých si môžeme myslieť menšie elektródy a ktoré ležia tiež na priamke  $S$ , súmerne podľa bodu  $C$ . Pri známej Wennerovej schéme je okrem toho

$$AM = MN = NB = \xi.$$

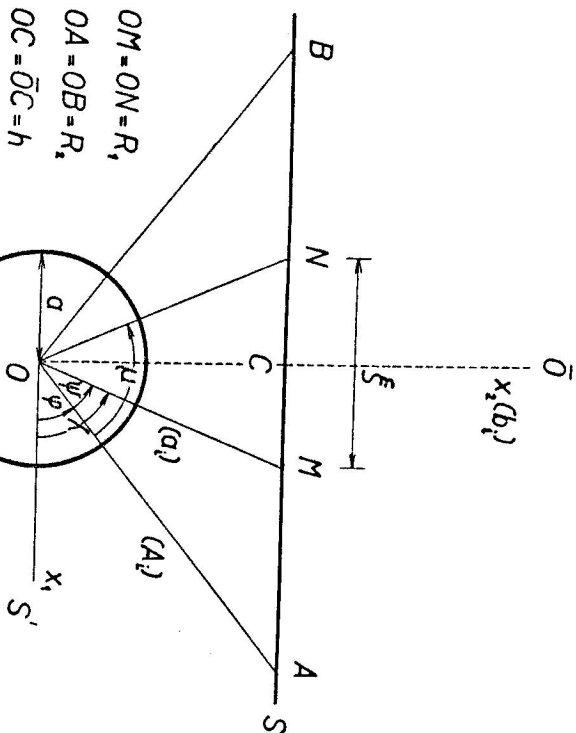
Ak sa najprv obmedzíme na prípad sytienia jedinou elektródou  $A$  (k tomu účelu si myslíme druhú sýtnu elektródu  $B$  umiestenú prechodne vo veľmi veľkej vzdialenosti, kým  $M$  a  $N$  ostávajú naďalej v miestach vyznačených na obr. 4.), dostávame hodnotu potenciálu v ľubovoľnom bode pod zemským povrchom (odhliadnúc od bodov vnútri gule), ak k jeho „neporušenej“ hodnote (v. § 2.) pridáme potenciály príslušajúce fiktívnym zdrojom. Pri prvom priblížení budeme uvažovať len fiktívne zdroje, ktoré vznikajú zrkadlením zdroja  $A$  na uvažovanej guli v jej strede (v. § 2. a § 5.) a ich zrkadlenia na rovine  $S$ .

Pre vzdialenosti a uhly vyznačené na obr. 4. si zavedieme toto označenie:

$$\overline{OM} = \overline{ON} = R_1, \quad \overline{OA} = \overline{OB} = R_2, \quad \overline{AM} = \overline{NM} = \overline{NB} = \xi,$$

$$\sphericalangle AOM = \psi, \quad \sphericalangle AON = \mu, \quad \sphericalangle SOA = \varphi, \quad \sphericalangle S'OM = \varphi + \psi = \lambda.$$

Ak uvažujeme len jedinú sústavu elektród v bode A, potenciál v bode M v dôsledku rovnice (7), § 2 a (6), § 6 je:



Obr. 4

$$V_{AM} = \frac{q}{\xi} + \frac{2q(\alpha - 1)}{2\alpha + 1} \frac{a^3}{R_1^2 R_2^2} P_1(\cos \psi) + \frac{4q(\alpha - 1)}{3\alpha + 2} \frac{a^5}{R_1^2 R_2^2} P_2(\cos \psi) +$$

$$+ \frac{6q(\alpha - 1)}{4\alpha + 3} \frac{a^7}{R_1^2 R_2^2} P_3(\cos \psi) + \dots$$

a v bode N

$$V_{AN} = \frac{q}{2\xi} + \frac{2q(\alpha - 1)}{2\alpha + 1} \frac{a^3}{R_1^2 R_2^2} P_1(\cos \mu) + \frac{4q(\alpha - 1)}{3\alpha + 2} \frac{a^5}{R_1^2 R_2^2} P_2(\cos \mu) +$$

$$+ \frac{6q(\alpha - 1)}{4\alpha + 3} \frac{a^7}{R_1^2 R_2^2} P_3(\cos \mu) + \dots,$$

teda:

$$V_{AM} - V_{AN} = \frac{q}{2\xi} + \frac{2q(\alpha - 1)}{2\alpha + 1} \frac{a^3}{R_1^2 R_2^2} [P_1(\cos \psi) - P_1(\cos \mu)] +$$

$$+ \frac{4q(\alpha - 1)}{3\alpha + 2} \frac{a^5}{R_1^2 R_2^2} [P_2(\cos \psi) - P_2(\cos \mu)] + \dots$$

Ak teraz priblihadame na to, že okrem bodu A sýtíme tiež v bode B, v ktorom máme zdroj prúdu o tej istej intenzite avšak opačného znamienka, celkový potenciálový rozdiel na elektródach M a N je:

$$V_M - V_N = 2(V_{AM} - V_{AN}),$$

teda:

$$V_M - V_N = \frac{q}{\xi} + \frac{4q(\alpha - 1)}{2\alpha + 1} \frac{a^3}{R_1^2 R_2^2} [P_1(\cos \psi) - P_1(\cos \mu)] +$$

$$+ \frac{8q(\alpha - 1)}{3\alpha + 2} \frac{a^5}{R_1^2 R_2^2} [P_2(\cos \psi) - P_2(\cos \mu)] + \dots$$

Keby nebolo guľovej vložky, t. j. keby celý polopriestor bol homogénne vyplnený hmotou špecifického odporu  $\epsilon_1$ , bol by za ináč tých istých podmienok potenciálový rozdiel na elektródach M a N

$$\Delta V_{MN} = \frac{q}{\xi}.$$

Relatívnu hodnotu anomálie zdanlivého špecifického odporu spôsobenej guľovou vložkou možno preto vyjadriť takto:

$$A_0 = \frac{\Delta \varrho}{\epsilon_1} = \frac{V_M - V_N}{\Delta V_{MN}} - 1 = \frac{4\xi(\alpha - 1)}{2\alpha + 1} \frac{a^3}{R_1^2 R_2^2} [P_1(\cos \psi) - P_1(\cos \mu)] +$$

$$+ \frac{8\xi(\alpha - 1)}{3\alpha + 2} \frac{a^5}{R_1^2 R_2^2} [P_2(\cos \psi) - P_2(\cos \mu)] +$$

$$+ \frac{12\xi(\alpha - 1)}{4\alpha + 3} \frac{a^7}{R_1^2 R_2^2} [P_3(\cos \psi) - P_3(\cos \mu)] + \dots$$

V tejto rovnici, ako je na prvý pohľad zrejmé, uplatňuje sa známy princíp „podobnosti“ v tom, že sa hodnota anomálie zdanlivého špecifického odporu nezmení, ak prejdeme z daného usporiadania na usporiadanie geometricky podobné nemeniac hodnotu  $\alpha$ . V dôsledku toho môžeme hĺbku stredu guľe  $h$  voľiť za dĺžkovú jednotku a v ďalšom polomer guľe  $a$ , ako aj dĺžky  $\xi$ ,  $R_1$  a  $R_2$  budeme vždy vyjadrovať v týchto jednotkách.

V rovnici (1) okrem polomeru  $a$  a fyzikálnej konštanty  $\alpha$  vystupujú veľičiny závislé výlučne od geometrického usporiadania elektród ( $\xi$ ,  $R_1$ ,  $R_2$ ,  $\psi$ ,  $\mu$ ), ktoré môžeme nazvať geometrickými parametrami sondáže. Za základný z týchto parametrov môžeme považovať  $\xi$  (vzdialenosť potenciálových elektród). Všetky ostatné parametry sa dajú z tohto základného parametra odvodiť jednoduchou geometrickou úvahou.

Pre prehľadnosť zaviedieme ešte ďalšie geometrické parametre:

$$\begin{aligned} F_1 &= \frac{4\xi[P_1(\cos \psi) - P_1(\cos \mu)]}{R_1^2 R_2^2}, \\ F_2 &= \frac{8\xi[P_2(\cos \psi) - P_2(\cos \mu)]}{R_1^2 R_2^2}, \\ F_3 &= \frac{12\xi[P_3(\cos \psi) - P_3(\cos \mu)]}{R_1^4 R_2^4}, \\ F_4 &= \frac{16\xi[P_4(\cos \psi) - P_4(\cos \mu)]}{R_1^6 R_2^6} \end{aligned} \quad (2)$$

atď.

Vzorec (1) možno potom písať takto:

$$A_0 = a^3 \frac{\kappa - 1}{2\kappa + 1} F_1 + a^5 \frac{\kappa - 1}{3\kappa + 2} F_2 + a^7 \frac{\kappa - 1}{4\kappa + 3} F_3 + a^9 \frac{\kappa - 1}{5\kappa + 4} F_4 + \dots \quad (3)$$

V ďalšej časti tejto práce chceme venovať zvláštnu pozornosť obojm krajným prípadom, t. j. prípadu gule dokonale vodivej ( $\kappa = 0$ ) a dokonale nevodivej ( $\kappa \rightarrow \infty$ ). V týchto prípadoch máme:

$$A_0 = - \left[ a^2 F_1 + \frac{1}{2} a^5 F_2 + \frac{1}{3} a^7 F_3 + \frac{1}{4} a^9 F_4 + \dots \right], \quad (\kappa = 0) \quad (3a)$$

prípadne

$$A_0 = \frac{1}{2} a^3 F_1 + \frac{1}{3} a^5 F_2 + \frac{1}{4} a^7 F_3 + \frac{1}{5} a^9 F_4 + \dots \quad (\kappa \rightarrow \infty) \quad (3b)$$

Pri porovnaní vzorcov (3a) a (3b) vidíme, že relatívna hodnota anomálie zdanlivého špecifického odporu je (ak odhliadneme od znamienka) pri tom istom usporiadaní elektród a pri rovnakom polomere vždy väčšia v prípade gule dokonale vodivej ako v prípade gule dokonale nevodivej.

Ak meníme vzdialenosť potenciálových elektród  $\xi$ , mení sa prirodzene aj zdanlivý špecifický odpor. Pomer  $\Delta \bar{\rho} / \rho_1$  má pri malých hodnotách  $\xi$  približne nulovú hodnotu, pri vzrastajúcom  $\xi$  jeho hodnota najprv stúpa, dosahuje pri určitej hodnote  $\xi = \xi_{\max}$  maximum a potom opäť klesá a blíži sa asymptoticky k nule. Ako z ďalších výsledkov uvidíme, je pri  $a < 0,6$  v oboch krajných prípadoch  $\xi_{\max}$  približne konštantné, a síce:

$$\xi_{\max} \sim 1$$

nezávisle od polomeru  $a$ . Preto pri malých polomeroch maximálna hodnota anomálie zdanlivého špecifického odporu je približne úmerná tretej mocnine polomeru. Vyplyva to zo vzorca (3), kde pri takomto obmedzení možno zanedbať členy s vyššími mocninami polomeru a považovať  $F_1$  za konštantné. Vzhľadom na princíp podobnosti možno tento poznatok vyjadriť tiež takto: Pri hĺbkach presahujúcich asi dvojnásobok polomeru gule klesá maximum odporovej anomálie približne s treťou mocninou hĺbky.

## § 8. SPRESNENIE TEÓRIE

V predchádzajúcom paragrafe sme odvodili približné vzorce pre zdanlivý špecifický odpor za predpokladu, že stred merania  $C$  (v obr. 4.) je presne nad stredom gule, a že elektródy sú usporiadané podľa Wennerovej schémy. Dvojicu zdrojov  $A$  a  $B$  sme zrkadlili najprv na guli a vznikajúce fiktívne multipólové zdroje v bode  $O$  sme zrkadlili opäť na rovine  $S$ , čím vznikli ďalšie fiktívne multipólové zdroje v bode  $\bar{O}$ . Týmto zrkadením na rovine  $S$  sme však porušili hraničné podmienky vyjadrené vzorcami (5) a (6), § 2. Aby sme týmto podmienkam vyhovelí, musíme všetky fiktívne zdroje vzniknuté v bode  $O$  opäť zrkadliť na guli do bodu  $O$ , čím zase porušujeme hraničné podmienky na rovine  $S$ . Preto všetky novovznikajúce fiktívne zdroje v bode  $O$  musíme zase zrkadliť na rovine  $S$  atď. Ak by sme chceli daný problém riešiť striktné, museli by sme teda zrkadliť na guli aj na rovine nekonečne mnohokrát a vyšetriť otázku konvergenie tohto postupu. Je to postup v určitom ohľade podobný ako obvyklý postup, ktorý používame pri riešení tzv. problémov dvoch vrstiev. Podstatný rozdiel medzi oboma prípadmi je však v tom, že kým pri zrkadení daného zdroja na ľubovoľnej rovine dostávame len jediný zrkadlový obraz, pri zrkadení každého zdroja na guli dostávame nekonečný rad zdrojov, v ktorom sú zástupené, dipólom počínajúc, všetky multipóly. Postup sa tým vo veľkej miere komplikuje a po niekoľkých zrkadeniach sa stáva úplne neprehľadným.

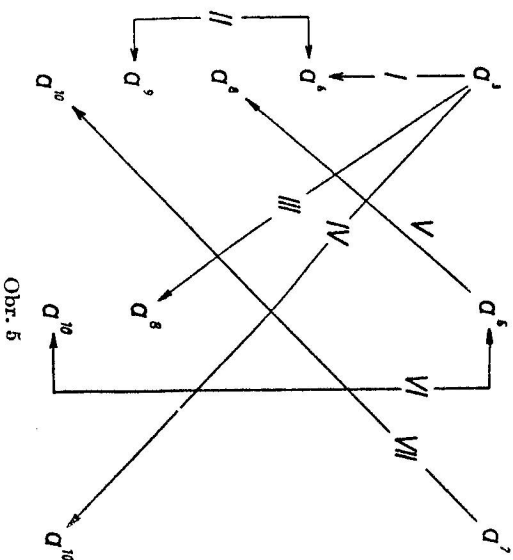
Pravda, pre praktické účely nie je treba v tomto postupe pokračovať veľmi ďaleko. Pri prvom zrkadení sa totiž na guli vyskytuje v momente vznikajúceho fiktívneho dipólu činiteľ  $a^2$ , v momente kvadrupólu  $a^5$ , v momente oktapólu  $a^7$  atď., ako sme videli vo vzorci (7a), § 2. K týmto činiteľom pri každom ďalšom zrkadení pristupuje opäť činiteľ  $a^2, a^5, a^7, \dots$  atď., ako sme videli v § 3 a § 4, a to podľa toho, či novovznikajúci zdroj je dipól, kvadrupól, oktapól atď. Preto pri nevelkých hodnotách polomeru ( $a < 0,5$ ) konverguje naznačený postup veľmi rýchle a v skutočnosti už vzorec (3), § 7 vyhovuje dokonale všetkým praktickým potrebám. Podrobnejší rozbor výsledkov okrem toho ukazuje, že aj pri pomerne vysokých hodnotách polomeru (približne po  $a = 0,9$ ) pre praktické potreby stačí uvažovať len tie členy výrazu pre potenciál, v ktorých ako činiteľ vystupuje najvyšš  $a^{10}$  a nižšie mocniny polomeru. Výnimku tu do určitej miery tvoria len členy radu (3), § 7, kde už pri  $a = 0,7$  treba brať do úvahy aj člen  $a^{11}$  a pri väčších polomeroch prípadne aj ďalšie.

Ujasníme si teda jednotlivé čiastkové kroky postupu zrkadenia, ktoré vedú k multipólom, ktorých momenty obsahujú ako činiteľa desiatu alebo nižšiu mocninu polomeru. Tomuto účelu slúži schéma znázornená na obr. 5. Zrkadením dvojice zdrojov  $A$  a  $B$  na guli  $a$  v zápäťi na rovine  $S$  vzniká v bode  $\bar{O}$  dipól, kvadrupól, oktapól a šesťnásťpól (ďalšie vyššie multipóly obsahujú ako činiteľa vyššie mocniny polomeru, a preto ich zanedbávame). Prvý obsahuje činiteľ  $a^2$ , druhý  $a^5$ , tretí  $a^7$  a štvrtý  $a^9$ . Zrkadením posledného zrejme nemôže

vznikáť multipóly s nižšou mocninou polomeru ako dvanásťou, a preto tieto zanedbávame.

Prvým krokom znázorneným na obr. 5. šípkou I, je zrkadlenie dipólu v bode  $\bar{O}$  na guľi v dipól umiestnený v jej strede  $O$  a jeho súčasné zrkadlenie na rovine  $S$  späť do bodu  $O$ . Preto najprv vypočítame časť potenciálového rozdielu, ktorý vzniká na elektródach  $M$  a  $N$ , ktorá je podmienená touto dvojicou dipólov súmerných podľa roviny  $S$ .

DIP                      KWADR.                      OKTAP.



Dvojica bodových zdrojov  $A$  a  $B$  (v. obr. 4) najprv spôsobuje, že v bode  $O$  vznikajú dva dipóly. Ak si zvolíme súradnú sústavu ( $x_1, x_2, x_3$ ), ako sme naznačili v obr. 4., t. j. s počiatkom v bode  $O$ , osou  $x_1$  orientovanou vodorovne vpravo, osou  $x_2$  zvisle hore (cez  $\bar{O}$ ) a osou  $x_3$  kolmo na nákrasnú rovinu smerom vpred, a ak ďalej smeru  $OA$  zodpovedajú smerové tenzory  $A_1, A_2, A_3, \dots$ , smeru  $OM$  tenzory  $a_1, a_2, a_3, \dots$ , smeru osi  $x_2$   $b_1, b_2, b_3, \dots$ , v zmysle výsledkov § 5, zložky momentov uvažovaných dvoch dipólov sú:

$$M'_1 = q \frac{\kappa - 1}{2\kappa + 1} \frac{a^3}{R_2^2} A_1 = CA_1, \quad M'_2 = CA_2, \quad M'_3 = CA_3 = O,$$

$$M''_1 = q \frac{\kappa - 1}{2\kappa + 1} \frac{a^3}{R_2^2} A_1 = CA_1, \quad M''_2 = -CA_2, \quad M''_3 = O.$$

Prvý z týchto dipólov zodpovedá systému zdrojov  $q$  v bode  $A$ , druhý systému zdrojov —  $q$  v bode  $B$ . Výsledný dipól má zložky:

$$M_1 = M'_1 + M''_1 = 2CA_1, \quad M_2 = M_3 = O.$$

Zrkadlením tohto dipólu na rovine  $S$  dostávame v bode  $\bar{O}$  dipól o zložkách:

$$\bar{M}_1 = M_1 = 2CA_1, \quad \bar{M}_2 = \bar{M}_3 = O.$$

Zrkadlime teraz dipól  $\bar{M}_1$  opäť na guľi, čím prístupíme k vlastnému kroku I, znázornenému v schéme obr. 5, predbežne uvažujúc iba dipólovú časť tohto zrkadlenia. Podľa vzorca (9), § 3, v ktorom kladíme teraz  $R = 2$  ( $= O\bar{O}$ ),  $\bar{M}_1 = M_1, A_{1k} = b_{1k}$ , pre potenciál tejto časti v bode  $M$  dostávame:

$$V_M = - \frac{\kappa - 1}{(2\kappa + 1)} \frac{a^3}{4R_1^2} \sum_k b_{1k} \bar{M}_1 a_k = - \frac{\kappa - 1}{2\kappa + 1} \frac{a^3}{4R_1^2} \bar{M}_1 \sum_k b_{1k} a_k,$$

avšak

$$b_{11} = -\frac{1}{2}, \quad b_{12} = b_{13} = 0,$$

a preto

$$V_M = \frac{\kappa - 1}{2(2\kappa + 1)} \frac{a^3}{4R_1^2} \bar{M}_1 a_1 = q \left( \frac{\kappa - 1}{2\kappa + 1} \right)^2 \frac{a^6}{4R_1^2 R_2^2} A_1 a_1. \tag{1}$$

Prvý smerový kosínus smeru  $ON$  je  $-a_1$ , a preto príslušný potenciál v bode  $N$  je:

$$V_N = -V_M,$$

v dôsledku čoho uvažovaný potenciálový rozdiel na oboch menších elektródach je:

$$V_M - V_N = 2V_M = q \left( \frac{\kappa - 1}{2\kappa + 1} \right)^2 \frac{a^6}{2R_1^2 R_2^2} A_1 a_1. \tag{2}$$

Potenciál  $V_M$  vyjadrený vzorcom (1) zodpovedá dipólu myslenému v bode  $O$ . Aby sme vyhoveli hraničným podmienkam na rovine  $S$ , musíme však tento dipól ešte raz zrkadliť na rovine  $S$  do bodu  $\bar{O}$ . V zmysle výsledkov § 6 tomto postupu zodpovedá zdvojnásobenie potenciálového rozdielu na elektródach  $M$  a  $N$ , a preto dostávame konečne upravený vzorec:

$$V_M - V_N = q \left( \frac{\kappa - 1}{2\kappa + 1} \right)^2 \frac{a^6}{R_1^2 R_2^2} \cos \varphi \cdot \cos \lambda, \tag{3}$$

$$\cos \varphi = A_1, \quad \cos \lambda = a_1.$$

Potenciálový rozdiel (3) k hodnote relatívnej anomálie zdanlivého špecifického odporu prispieva čiastkou:

$$A_1 = \frac{\xi(V_M - V_N)}{q} = a^6 \left( \frac{\kappa - 1}{2\kappa + 1} \right)^2 \cdot \frac{\xi \cos \varphi \cos \lambda}{R_1^2 R_2^2}.$$

Kladúc

$$G_1 = \frac{\xi \cdot \cos \varphi \cos \lambda}{R_1^2 R_2^2} = \xi \cdot \cos \varphi \sin^2 \varphi \cos \lambda \sin^2 \lambda \tag{4a}$$

teda máme:

$$A_1 = a^6 \left( \frac{\kappa - 1}{2\kappa + 1} \right)^2 \cdot G_1, \tag{4}$$

kde  $G_1$  je geometrická veľičina, ktorá závisí jedine od usporiadania elektród, t. j. od vzdialenosti  $\xi$ .

Výraz na pravej strane rovnice (1) predstavuje potenciál dipólu v bode  $M$ . Tento dipól je v strede gule a zložky jeho momentu v súradnicovej sústave znázornenej na obr. 4. sú:

$$m_1 = q \frac{a^3}{4K_2^2} \left( \frac{x-1}{2x+1} \right)^2 \cdot A_1, \quad m_2 = m_3 = 0. \quad (5)$$

Jeho zrkadlový obraz na rovine  $S$ , vznikajúci v bode  $O$ , má ten istý dipólový moment

$$\overline{m}_1 = m_1, \quad \overline{m}_2 = \overline{m}_3 = 0. \quad (5a)$$

Oba dipóly  $m_i$  a  $\overline{m}_i$  spolu na elektródach  $M$  a  $N$  dávajú potenciálový rozdiel vyjadrený rovnicou (3).

Druhý krok znázornený v schéme obr. 5. šípkou II však predpokladá ďalšie zrkadenie dipólu  $m_i$  na guľi a v zájatlí opäť na rovine  $S$ . Pritom však pri zrkadení sa na guľi stáčí obmedziť na vznikajúci dipól  $n_k$ , pretože pri tomto zrkadení vznikajúce vyššie multipólové momenty obsahujú ako činitele  $a^{11}$ ,  $a^{13}$  atď., a preto ich zanedbávame.

Podľa výsledkov zistených v § 3 (vzorec (9)) zložky dipólu  $n_k$  sú dané vzorcom:

$$n_k = -\frac{x-1}{2x+1} \frac{a^3}{4} \sum_i b_{ik} m_i.$$

Fiktívny zdroj  $\overline{m}_i$  je totiž v bode  $\overline{O}$ , ktorého vzdialenosť od bodu  $O$  je 2 a bod sytenia  $\overline{O}$  je v smere, ktorému zodpovedá tenzor  $b_{ik}$ . V prvom člene radu (9), § 3 kladieme preto  $R = 2$  a namiesto  $A_{ik}$  píšeme  $b_{ik}$ . V dôsledku rovnice (5) a (5a) je ďalej:

$$\text{teda:} \quad n_k = -\frac{x-1}{2x+1} \frac{a^3}{4} \cdot b_{ik} m_i,$$

$$n_k = -q \cdot \frac{a^3}{16K_2^2} \left( \frac{x-1}{2x+1} \right)^3 A_1 b_{ik}.$$

Použijeme opäť vzorec pre zložky tenzoru  $b_{ik}$ , o ktoré sme sa operali už predtým

$$b_{11} = -\frac{1}{2}, \quad b_{12} = b_{13} = 0$$

a dostávame:

$$n_1 = q \cdot \frac{a^3}{32K_2^2} \left( \frac{x-1}{2x+1} \right)^3 A_1, \quad n_2 = n_3 = 0 \quad (6)$$

Dipól  $n_i$  musíme ešte raz zrkadliť na rovine  $S$ , pričom zložky zrkadeného dipólu  $\overline{n}_i$  v bode  $\overline{O}$  sa rovnajú zložkám  $n_i$

$$\overline{n}_1 = n_1, \quad \overline{n}_2 = \overline{n}_3 = 0.$$

Potenciál dvojice dipólov  $n_i$  a  $\overline{n}_i$  v bode  $M$  je podľa prísušných vzorcov:

$$V_M = q \cdot \frac{a^3}{16K_2^2 H_2^2} \left( \frac{x-1}{2x+1} \right)^3 A_1 a_1.$$

keďže smerové kosínusy smernu  $\overrightarrow{ON}$  sú  $(-a_1, a_2, 0)$ , pre potenciál v bode  $N$  platí:

$$V_N = -V_M.$$

Pre potenciálový rozdiel na elektródach  $M$  a  $N$  preto dostávame, kladúc  $A_1 = \cos \varphi$ ,  $a_1 = \cos \lambda$ ,

$$V_M - V_N = q \cdot \frac{a^3}{8R_1^2 R_2^2} \left( \frac{x-1}{2x+1} \right)^3 \cos \varphi \cos \lambda.$$

Tento potenciálový rozdiel prispieva k celkovej anomálii zdanihového špeci-fického odporu čiastkou:

$$A_2 = \frac{\xi(V_M - V_N)}{q} = a^3 \left( \frac{x-1}{2x+1} \right)^3 \cdot G_2. \quad (7)$$

kde  $G_2$  je opäť veličina závislá jedine od geometrického usporiadania elektród, t. j. od vzdialenosti  $\xi = \overline{MN}$ :

$$G_2 = \frac{\xi \cos \varphi \cos \lambda}{8H_1^2 H_2^2} = \frac{1}{8} \xi \cos \varphi \sin^2 \varphi \cos \lambda \sin^2 \lambda = \frac{1}{8} G_1. \quad (8)$$

Teraz prikróime k ďalšiemu kroku, ktorý je vyznačený v schéme na obr. 5, šípkou III. Dvojica bodových zdrojov  $A$  a  $B$  dáva najprv vznik dipólovému momentu  $M_i$  v bode  $O$ , ktorého zrkadlovým obrazom v bode  $O$  je moment  $\overline{M}_i$ . Tento dipól sme zrkadlili opäť na guľi, pričom sme však uvažovali z konečného radu vznikajúcich multipólových fiktívnych zdrojov len dipólovú zložku. Teraz budeme uvažovať kvadrupólovú zložku. Pre moment  $\overline{M}_i$ , ako sme už skôr uviedli, platí:

$$\overline{M}_1 = 2q \frac{x-1}{2x+1} \frac{a^3}{R_2^2} A_1, \quad \overline{M}_2 = \overline{M}_3 = 0.$$

Zložky kvadrupólového momentu  $m_{ki}$ , vznikajúceho zrkadením  $\overline{M}_i$  na guľi zistíme na základe vzorca (9), § 3. V ľubovoľnom bode, ktorý leží od bodu  $O$  vo vzdialenosti  $r$  v smere  $a_i$ , potenciál tohto kvadrupólu v zmysle práve spomenutého vzorca je:

$$V = -\frac{x-1}{3x+2} \frac{a^5}{4r^3} \sum_{ki} b_{ik} \overline{M}_i a_{ki}. \quad (9a)$$

V prísušnej časti vzorca (9), § 3 sme pritom opäť kladli  $R = OO = 2$  a namiesto  $A_{ki}$  sme písali  $b_{ki}$ , pretože prísušný smerový tenzor, odpovedajúci smernu  $\overrightarrow{OO}$ , je  $b_{ki}$ . Potenciál kvadrupólu sme vyjadřili už v § 1 všeobecnejm

vzorcem (3b), ktorý môžeme upraviť pomocou vzorcov (4), prípadne (4a), § 1 pre náš prípad takto:

$$V = \frac{1}{r^3} \sum_M m_M a_M. \quad (9b)$$

Porovnávajúc pravé strany vzorcov (9a) a (9b) zisťujeme, že

$$m_M = -\frac{a^5}{4} \frac{\kappa - 1}{3\kappa + 2} \sum_M b_M \bar{M}_i,$$

po jednoduchšej úprave dostávame:

$$m_M = -\frac{a^5}{4} \frac{\kappa - 1}{3\kappa + 2} \bar{M}_1 \cdot b_M = -q \cdot \frac{a^5}{2R_2^2} \frac{(\kappa - 1)^2}{(2\kappa + 1)(3\kappa + 2)} A_1 b_M.$$

Kvadrupólový moment  $\bar{m}_M$ , ktorý vzniká zrkadlením zdroja  $m_M$  na rovine  $S$ , má zložky:

$$\bar{m}_M = -q \cdot \frac{a^5}{2R_2^2} \frac{(\kappa - 1)^2}{(2\kappa + 1)(3\kappa + 2)} A_1 \cdot \bar{b}_M.$$

Potenciál dvojice kvadrupólových zdrojov  $m_M$  a  $\bar{m}_M$  v bode  $M$ , ktorý leží v rovine  $S$ , rovná sa podľa výsledkov, ktoré sme získali v § 6, dvojnásobku potenciálu  $m_M$  v tom istom bode. Opierajúc sa o vzorec (9b), môžeme preto písať:

$$V_M = -q \cdot \frac{a^5}{R_1^2 R_2^2} \frac{(\kappa - 1)^2}{(2\kappa + 1)(3\kappa + 2)} A_1 \sum_M b_M a_M.$$

Zložky smerového tenzoru  $b_{Mi}$ , vystupujúce v tomto vzorci, môžeme vypočítať na základe všeobecnej definície tohto tenzoru uvedenej v § 1. Podrobnejším výpočtom sa možno presvedčiť, že:

$$b_{11} = b_{113} = b_{22} = b_{33} = b_{33} = 0,$$

kým

$$b_{12} = b_{21} = -\frac{1}{2}.$$

Práve tak sa môžeme presvedčiť, že:

$$a_{12} = a_{21} = \frac{3}{2} a_1 a_2.$$

V dôsledku toho platí:

$$\sum_M b_M a_M = 2b_{12} a_{12} = -\frac{3}{2} a_1 a_2,$$

teda

$$V_M = q \cdot \frac{3a^5}{2R_1^2 R_2^2} \frac{(\kappa - 1)^2}{(2\kappa + 1)(3\kappa + 2)} A_1 a_1 a_2.$$

Kedže kosinusy smeru  $\vec{ON}$  sú  $(-a_1, a_2, 0)$ , opäť platí:

$$V_N = -V_M,$$

a preto pre potenciálový rozdiel na elektródach  $M$  a  $N$  dostávame, kladúc  $A_1 = \cos \varphi$ ,  $a_1 = \cos \lambda$ ,  $a_2 = \sin \lambda$ , vzorec:

$$V_M - V_N = q \cdot \frac{3a^5}{R_1^2 R_2^2} \frac{(\kappa - 1)^2}{(2\kappa + 1)(3\kappa + 2)} \sin \lambda \cos \lambda \cos \varphi.$$

Ďalší geometrický parameter  $G_3$  definujeme takto:

$$G_3 = \frac{3\xi \sin \lambda \cos \lambda \cos \varphi}{R_1^2 R_2^2} = 3\xi \sin^4 \lambda \cos \lambda \sin^2 \varphi \cos \varphi \quad (10)$$

Príspevok tu uvažovaného potenciálového rozdielu na elektródach  $M$  a  $N$  k anomálii zdanihového špecifického odporu potom môžeme vyjadriť vzorcem:

$$A_3 = a^5 \frac{(\kappa - 1)^2}{(2\kappa + 1)(3\kappa + 2)} \cdot G_3. \quad (11)$$

Zrkadlením na guli dipólu  $\bar{M}_i$  vzniká v jej strede okrem vypočítaného dipólu  $m_i$  a kvadrupólu  $m_{ki}$  tiež oktapól  $m_{kin}$  schematizovaný na obr. 5, šípku IV. K výpočtu zložiek jeho momentu použijeme vo vhodné upravenom tvare tretiu z rovníc (3), § 5, v ktorej opäť kladíme  $R = 2$ , píšeme  $q_{ki}$   $m_{kin}$  namiesto  $A_{ki} b_{kin}$  a namiesto  $M_n$   $M_i$ . Dostávame:

$$m_{kin} = -\frac{3}{20} \frac{\kappa - 1}{4\kappa + 3} a^7 \sum_M b_{kin} \bar{M}_i.$$

Vzhľadom na skôr odvodené vzorce pre  $\bar{M}_i$ :

$$m_{kin} = -\frac{3}{10} q \frac{(\kappa - 1)^2}{(2\kappa + 1)(4\kappa + 3)} \frac{a^{10}}{R_2^2} A_1 b_{kin}.$$

Ak tento oktapól zrkadlime ešte raz na rovine  $S$ , dostávame oktapóli

$$\bar{m}_{kin} = -\frac{3}{10} q \frac{(\kappa - 1)^2}{(2\kappa + 1)(4\kappa + 3)} \frac{a^{10}}{R_2^2} A_1 \bar{b}_{kin}.$$

Potenciál dvojice oktapólov  $m_{kin}$  v ľubovoľnom bode roviny  $S$  sa podľa výsledkov, ktoré sme odvodili v § 6, rovná opäť dvojnásobku potenciálu oktapólu  $m_{kin}$  v tomto bode. Preto potenciál v bode  $M$  je:

$$V_M = \frac{2}{R_1^4} \sum_{kin} m_{kin} a_{kin} = -\frac{3}{5} q \frac{(\kappa - 1)^2}{(2\kappa + 1)(4\kappa + 3)} \frac{a^{10}}{R_1^2 R_2^2} A_1 \sum_{kin} b_{kin} a_{kin}. \quad (12)$$

Zložky tenzoru  $a_{kin}$  môžeme vypočítať na základe ich definície uvedenej



v § 1. Ak prihladáme k tomu, že bod  $M$  leží v rovine  $x_3 = 0$ ,  $a_3 = 0$ , môžeme ľahko odvodiť tieto vzorce:

$$\begin{aligned} a_{111} &= \frac{5}{2} a_1^3 - \frac{3}{2} a_1, & a_{112} &= \frac{5}{2} a_1^2 a_2 - \frac{1}{2} a_2, & a_{122} &= \frac{5}{2} a_1 a_2^2 - \frac{1}{2} a_1, \\ a_{133} &= -\frac{1}{2} a_1, & a_{222} &= \frac{5}{2} a_2^3 - \frac{3}{2} a_2, & a_{233} &= \frac{5}{2} a_2 a_3^2 - \frac{1}{2} a_2, \\ a_{113} &= a_{123} = a_{233} = a_{333} = 0. \end{aligned} \quad (13)$$

Vzhľadom na poslednú z týchto rovníc redukuje sa súčet na pravej strane vzorca (12) takto:

$$\sum_{kln} b_{kln} a_{kln} = b_{111} a_{111} + 3b_{112} a_{112} + 3b_{122} a_{122} + 3b_{133} a_{133} + 3b_{233} a_{233} + b_{222} a_{222}.$$

Zložky  $b_{kln}$ , vystupujúce v tomto výraze, môžeme opäť vyjadriť pomocou zložiek vektora  $b_i$  ( $b_1 = b_2 = 0$ ,  $b_3 = 1$ ) na základe definícií uvedených v § 1. Ľahko sa presvedčíme najprv o tom, že:

$$b_{112} = b_{122} = b_{133} = 0,$$

a preto

$$\sum_{kln} b_{kln} a_{kln} = b_{111} a_{111} + 3b_{122} a_{122} + 3b_{133} a_{133}. \quad (14)$$

Výpočtom ďalej dostávame:

$$b_{111} = \frac{3}{8}, \quad b_{122} = -\frac{1}{2}, \quad b_{133} = \frac{1}{8}. \quad (14a)$$

Vsadiac tieto hodnoty do vzorca (14) a potom do vzorca (12) po ľahkej úprave máme:

$$V_M = -\frac{9}{16} q \frac{(\kappa - 1)^2}{(2\kappa + 1)(4\kappa + 3)} \cdot \frac{a^{10}}{R_1^4 R_2^2} \cdot A_1 a_1 (a_1^2 - 4a_2^2).$$

Keďže však

$$a_1^2 = 1 - a_2^2,$$

môžeme tiež písať:

$$V_M = \frac{9}{16} q \frac{(\kappa - 1)^2}{(2\kappa + 1)(4\kappa + 3)} \cdot \frac{a^{10}}{R_1^4 R_2^2} \cdot A_1 a_1 (5a_2^2 - 1).$$

Ľahko sa tiež presvedčíme, že:

$$V_M - V_N = 2V_M = \frac{9}{8} q \frac{(\kappa - 1)^2}{(2\kappa + 1)(4\kappa + 3)} \cdot \frac{a^{10}}{R_1^4 R_2^2} \cdot A_1 a_1 (5a_2^2 - 1)$$

a tomuto potenciálovému rozdielu zase zodpovedá časť celkovej anomálie zdaniľového špecifického odporu

$$A_4 = a^{10} \frac{(\kappa - 1)^2}{(2\kappa + 1)(4\kappa + 3)} \cdot G_4. \quad (15)$$

kde  $G_4$  je opäť geometrický parameter merania definovaný vzťahom

$$G_4 = \frac{9 \xi A_1 a_1}{8 R_1^4 R_2^2} (5a_2^2 - 1). \quad (16)$$

Môžeme tu opäť klásť:

$$A_1 = \cos \varphi, \quad a_1 = \cos \lambda, \quad a_2 = \sin \lambda, \quad R_1 = \frac{1}{\sin \lambda}, \quad R_2 = \frac{1}{\sin \varphi}$$

teda:

$$G_4 = \frac{9}{8} \xi \cos \varphi \cos \lambda \sin^2 \varphi \sin^4 \lambda (5 \sin^2 \lambda - 1). \quad (16a)$$

Tým sme vyčerpali všetky členy vznikajúce postupným zrkadlením dipólu  $M_i$ , prípadne  $M_i'$ , ktoré ako činitele obsahujú mocniny polomeru  $a$  až do jeho desiatej mocniny. Zrkadlením bodového zdroja  $A$  na guľi však vzniká v jej strede súčasne tiež fiktívny kvadrupól  $M_{ik}$  a zrkadlením zdroja  $B$  fiktívny kvadrupól  $M_{ik}''$ . Oba tieto kvadrupóly spolu dávajú výsledný kvadrupól  $M_{ik}$ . Zložky kvadrupólového momentu  $M_{ik}'$  a  $M_{ik}''$  vypočítame na základe druhej z rovníc (2), § 5. Ak v tejto rovnici pozmeníme  $q_i^{(0)}$  na  $M_{ik}'$  a  $R$  na  $R_2$ , dostávame:

$$M_{ik}' = \frac{4}{3} q \frac{\kappa - 1}{3\kappa + 2} \frac{a^5}{R_2^2} A_{ik}.$$

Príslušný vzorec pre  $M_{ik}''$  dostávame zámennou  $A_{ik}$  na  $A_{ik}''$ , kde  $A_{ik}''$  sú zložky smerového tenzoru príslúchajúceho smeru  $OB$  (v. obr. 4). Pri symetrií kom usporiadaní elektród  $A$  a  $B$  naznačenom na obr. 4 však je:

$$A_{11}'' = A_{11}, \quad A_{13}'' = A_{13} = 0, \quad A_{22}'' = A_{22}, \quad A_{23}'' = A_{23} = 0, \quad A_{33}'' = A_{33} = -\frac{1}{2}$$

a súčasne

$$A_{13}'' = -A_{12}.$$

Keďže v bode  $B$  sýtíme zdrojom intenzity  $-q$ , zložky výsledného fiktívneho kvadrupólu sú:

$$M_{12} = \frac{8}{3} q \frac{\kappa - 1}{3\kappa + 2} \frac{a^5}{R_2^2} A_{12}, \quad M_{11} = M_{22} = M_{33} = M_{13} = M_{23} = 0. \quad (17)$$

Jeho zrkadlením na rovine  $S$  vzniká kvadrupól

$$\bar{M}_{12} = -\frac{8}{3} q \frac{\kappa - 1}{3\kappa + 2} \frac{a^5}{R_2^2} A_{12}, \quad \bar{M}_{11} = \bar{M}_{22} = \bar{M}_{33} = \bar{M}_{13} = \bar{M}_{23} = 0. \quad (17a)$$

Vplyv dvojice kvadrupólov  $M_{ik}$  a  $\bar{M}_{ik}$  na hodnotu relatívnej anomálie zdaniľového špecifického odporu je zahrnutý už vo výraze (3), § 7. Ďalším zrkadlením kvadrupólu  $\bar{M}_{ik}$  na guľi však vzniká v jej strede dipól  $p_i$  (šípka V na obr. 5.) a kvadrupól  $p_{ik}$  (šípka VI), prípadne opätovným zrkadlením na rovine  $S$  dipól  $\bar{p}_i$  a kvadrupól  $\bar{p}_{ik}$ , ktorých vplyv sme doteraz neuvažovali.

Zložky dipólového momentu  $p_i$  môžeme vypočítať na základe vhodne upravenej prvej rovnice (4), § 5:

$$p_i = \frac{3}{16} \frac{\kappa - 1}{2\kappa + 1} a^3 \sum_{ik} b_{ik} \bar{M}_{ik} = \frac{3}{8} a^3 \frac{\kappa - 1}{2\kappa + 1} b_{i12} \bar{M}_{12}.$$

Avšak, ako sa ľahko presvedčíme na základe vzorcov (13)

$$b_{112} = -\frac{1}{2}, \quad b_{312} = b_{321} = 0,$$

a preto

$$p_1 = -\frac{3}{16} a^3 \frac{\kappa - 1}{2\kappa + 1} \bar{M}_{12}, \quad p_2 = 0, \quad p_3 = 0.$$

Vsadiac za  $\bar{M}_{12}$  výraz vyjadrený vzorcom (17a) dostávame:

$$p_1 = \frac{q}{2} \cdot \frac{a^6}{R_2^3} \frac{(\kappa - 1)^2}{(2\kappa + 1)(3\kappa + 2)} \cdot A_{12}.$$

Pre zložky zrkadleného dipólu  $\bar{p}_i$  platia vzťahy:

$$\bar{p}_1 = p_1, \quad \bar{p}_2 = \bar{p}_3 = 0.$$

Vypočítame teraz potenciál dvojice dipólov  $p_i$  a  $\bar{p}_i$  v bodoch  $M$  a  $N$  podľa známych vzorcov:

$$V_M = \frac{2}{R_1^3} \sum_i p_i a_i = \frac{2}{R_1^3} p_1 a_1 = q \cdot \frac{a}{R_1^3 R_2^3} \frac{(\kappa - 1)^2}{(2\kappa + 1)(3\kappa + 2)} A_{12} a_1 = -V_N.$$

Preto potenciálový rozdiel v bodoch  $M$  a  $N$ , ktorý je podmienený touto dvojicou dipólov, je daný vzorcom:

$$V_M - V_N = 2V_M = 2q \cdot \frac{a^3}{R_1^3 R_2^3} \frac{(\kappa - 1)^2}{(2\kappa + 1)(3\kappa + 2)} A_{12} a_1$$

a prislúšná časť relatívnej anomálie zdaniivého špecifického odporu

$$A_5 = \frac{2a^3(\kappa - 1)^2}{(2\kappa + 1)(3\kappa + 2)} \cdot \frac{\xi A_{12} a_1}{R_1^3 R_2^3}.$$

Z definície tenzoru  $A_{ik}$  (v. § 1) však vyplýva

$$A_{12} = \frac{3}{2} \cos \varphi \sin \varphi.$$

Ak teda kladieme:

$$G_5 = \frac{3\xi \cos \varphi \sin \varphi \cos \lambda}{R_1^3 R_2^3} = 3\xi \sin^4 \varphi \cos \varphi \sin^2 \lambda \cos \lambda, \quad (18)$$

môžeme tiež písať:

$$A_5 = a^6 \frac{(\kappa - 1)^2}{(2\kappa + 1)(3\kappa + 2)} \cdot G_5. \quad (19)$$

Obrátime sa teraz k výpočtu potenciálu dvojice kvadrupólov  $p_{ik}$  a  $\bar{p}_{ik}$ , z ktorých  $p_{ik}$  predstavuje kvadrupól vznikajúci v bode  $O$  (obr. 4) pri zrkadlení fiktívneho zdroja  $M_{ik}$  na guľi, kým  $\bar{p}_{ik}$  vzniká ďalším zrkadlením tenzoru  $p_{ik}$  na rovine  $S$ . Na obr. 5 tejto časti našej úvahy zodpovedá šípka VI. Zložky kvadrupólového momentu  $\bar{M}_{ik}$  sme vyjadrili už vzorcom (17a) a videli sme, že okrem  $\bar{M}_{12}$  všetky zložky sa rovnajú nule. Pre výpočet zložiek  $p_{ik}$  použijeme vhodným spôsobom upravenú druhú rovnicu (4), § 5, z ktorej dostávame:

$$p_{ik} = \frac{1}{4} \frac{\kappa - 1}{3\kappa + 2} a^5 \sum_{iklm} b_{iklm} \bar{M}_{lm} = \frac{1}{2} \frac{\kappa - 1}{3\kappa + 2} a^5 \bar{M}_{12} b_{ik12}.$$

Za  $\bar{M}_{12}$  vsadíme výraz, ktorý sme našli vo vzorci (17a):

$$p_{ik} = -\frac{4}{3} q \left( \frac{\kappa - 1}{3\kappa + 2} \right)^2 \frac{a^{10}}{R_2^3} A_{12} b_{ik12}.$$

Zložky tenzoru  $\bar{p}_{ik}$  dostávame použijúc pravidlá, ktoré sme odvodili pre zrkadlenie na rovine v § 6. Podľa týchto pravidiel, ktoré sme v predchádzajúcich úvahách použili už viackrát, potenciál dvojice  $p_{ik}$  a  $\bar{p}_{ik}$  v ľubovoľnom bode roviny  $S$  sa rovná dvojnásobku potenciálu kvadrupólu  $p_{ik}$  v tom istom bode. Preto potenciál v bode  $M$  je:

$$V_M = \frac{2}{R_1^3} \sum_{ik} p_{ik} a_{ik} = -\frac{8}{3} q \left( \frac{\kappa - 1}{3\kappa + 2} \right)^2 \frac{a^{10}}{R_1^3 R_2^3} A_{12} \sum_{ik} b_{ik12} a_{ik}.$$

Avšak ľahko sa presvedčíme, že pri voľbe súradnej sústavy znázornenej na obr. 4 platí:

$$b_{112} = b_{212} = b_{312} = 0, \quad b_{1212} = -\frac{1}{2}$$

a pri uvažovanom usporiadaní elektród okrem toho je:

$$a_{12} = a_{22} = 0, \quad a_{33} = -\frac{1}{2}.$$

Preto súčet na pravej strane horejšieho vzorca, ktorý sme pre potenciál  $V_M$  odvodili, redukuje sa na jediný člen:

$$\sum_{ik} b_{ik12} a_{ik} = 2a_{12} b_{1212} = -a_{12}$$

a pre samý potenciál  $V_M$  dostávame vzorec:

$$V_M = \frac{8}{3} q \left( \frac{\kappa - 1}{3\kappa + 2} \right)^2 \frac{a^{10}}{R_1^3 R_2^3} A_{12} a_{12}.$$

Majúc na zreteľ súmernosť usporiadania elektród a prihladájuce na základné vlastnosti tenzoru  $a_{ik}$ , z tohto vzorca bez akýchkoľvek ťažkostí opäť vyplýva:

$$\text{teda: } V_N = -V_M, \quad V_M - V_N = 2V_M,$$

$$A_6 = \frac{16}{3} \left( \frac{x-1}{3x+2} \right)^2 \frac{a^{10}}{R_1^2 R_2^2} \xi A_{12} a_{12}.$$

Podľa definície kladieme:

$$A_{12} = \frac{3}{2} \sin \varphi \cos \varphi, \quad a_{12} = \frac{3}{2} \sin \lambda \cos \lambda$$

a dostávame:

$$A_6 = a^{10} \left( \frac{x-1}{3x+2} \right)^2 \cdot G_6, \quad (20)$$

kde sme ako geometrický parameter usporiadania elektród zaviedli veľičinu

$$G_6 = \frac{12\xi \sin \varphi \cos \varphi \sin \lambda \cos \lambda}{R_1^2 R_2^2} = 12\xi \sin^4 \varphi \cos \varphi \sin^4 \lambda \cos \lambda. \quad (21)$$

Tým sme vyčerpali všetky členy vznikajúce postupným zrkadlením prvého alebo kvadrupólu  $M_{ik}$  na rovine  $S$  a na danej guľi, v ktorých vystupuje ako činiteľ desiatka mocnina polomeru  $a$  alebo vektorá z jeho nižších mocnín. Preto pristúpime k poslednému kroku tejto úvahy, ktorý sme na obr. 5 schématickovo nazvali šípkou VII.

V dôsledku sytenia v bode  $A$  prúdom intenzity  $I$  v strede guľe  $O$  vzniká fiktívny oktapólový zdroj  $M_{ik}$ . Jeho zložky určíme pomocou tretej rovnice (2), § 5:

$$M'_{ik} = \frac{6}{5} q \frac{x-1}{4x+3} \frac{a^7}{R_2^2} A_{ik}.$$

Súčasne však v bode  $O$  vzniká tiež druhý fiktívny oktapólový zdroj  $M''_{ik}$ , pretože sytíme aj v bode  $B$  prúdom intenzity  $-I$ . Výsledný oktapólový moment bude mať zložky:

$$M_{ik} = M'_{ik} + M''_{ik}.$$

Výpočtom zložiek tenzoru  $A_{ik}$  možno zistiť, že v súradnej sústave, ktorú sme si pre svoje úvahy zvolili (v. obr. 4), v dôsledku súmernosti úsečky  $AB$  podľa osi  $O\bar{O}$  platia vzťahy:

$$\begin{aligned} M'_{111} &= M'_{111}, & M'_{122} &= M'_{122}, & M'_{133} &= M'_{133}, \\ M'_{112} + M'_{112} &= M'_{222} + M'_{222} = M'_{222} + M'_{222} = 0, \\ M'_{113} &= M'_{113}, & M'_{123} &= M'_{123}, & M'_{233} &= M'_{233} = M'_{333} = 0, \end{aligned}$$

a preto výsledný oktapólový moment  $M_{ik}$  má len tieto zložky:

$$\begin{aligned} M_{111} &= \frac{12}{5} q \frac{x-1}{4x+3} \frac{a^7}{R_2^2} A_{111}, & M_{122} &= \frac{12}{5} q \frac{x-1}{4x+3} \frac{a^7}{R_2^2} A_{122}, \\ M_{133} &= \frac{12}{5} q \frac{x-1}{4x+3} \frac{a^7}{R_2^2} A_{133}. \end{aligned} \quad (22)$$

Jeho zrkadlením na rovine  $S$  vzniká v bode  $O$  fiktívny oktapólový zdroj, ktorého zložky sú:

$$\bar{M}_{111} = M_{111}, \quad \bar{M}_{122} = M_{122}, \quad \bar{M}_{133} = M_{133} \quad (22a)$$

(všetky ostatné zložky sa rovnajú nule!). Vplyv oktapólov  $M_{ik}$  a  $\bar{M}_{ik}$  na anomáliu zdaniľového špecifickeho odporu je zahrnutý už v rovnici (3), § 7 (v treťom člene výrazu na jej pravej strane). Pri terajšej úvahe schématickovo nazvanej šípkou VII, obr. 5, ide len o výpočet tej časti, ktorou k celkovej anomálii prispieva dipól  $q_i$ , ktorý vzniká pri zrkadlení oktapólu  $M_{ik}$  na guľi a dipól  $\bar{q}_i$ , ktorý vzniká zrkadlením dipólu  $q_i$  na rovine  $S$ .

K výpočtu zložiek dipólu  $q_i$  použijeme vzorec (5), § 5, ktorý pre tento prípad môžeme písať v tvare:

$$q_i = -\frac{a^3}{8} \frac{x-1}{2x+1} \sum_{kim} b_{ikim} \bar{M}_{kim}.$$

Súčet, ktorý je na pravej strane tohto vzorca sa však redukuje v dôsledku toho, že časť zložiek  $\bar{M}_{kim}$  sa rovná nule, na tri členy:

$$\sum_{kim} b_{ikim} \bar{M}_{kim} = b_{111} \bar{M}_{111} + 3b_{122} \bar{M}_{122} + 3b_{133} \bar{M}_{133}.$$

Z definície tenzoru  $b_{ikim}$  možno dokázať, že v súradnicovej sústave, ktorú sme pre svoje úvahy zvolili, platí:

$$b_{211} = b_{222} = b_{233} = b_{311} = b_{322} = b_{333}.$$

preto  $q_2 = q_3 = 0$  a dipól  $q_i$  má jedinnú zložku

$$q_1 = -\frac{a^3}{8} \frac{x-1}{2x+1} (b_{111} \bar{M}_{111} + 3b_{122} \bar{M}_{122} + 3b_{133} \bar{M}_{133}).$$

Do tohto vzorca vsadíme jednak hodnoty príslušných zložiek tenzoru  $b_{ikim}$  (v. 14a), jednak výrazy pre zložky  $\bar{M}_{ik}$ , ktoré vyplývajú zo vzorcov (22) a (22a). Dostávame:

$$q_1 = -\frac{9}{80} \frac{(x-1)^2 q}{(2x+1)(4x+3)} \frac{a^{10}}{R_2^2} (A_{111} + A_{133} - 4A_{122})$$

a v dôsledku základných vzťahov vyjadrených rovnicami (5), § 1

$$q_1 = \frac{9}{16} q \frac{(x-1)^2}{(2x+1)(4x+3)} \frac{a^{10}}{R_2^2} A_{122}.$$

Zložky dipólu  $\bar{q}_i$  sú:

$$\bar{q}_1 = q_1, \quad \bar{q}_2 = \bar{q}_3 = 0.$$

Potenciál dvojice dipólov  $q_i$  a  $\bar{q}_i$  v bode  $M$  je:

$$V_M = \frac{2}{R_1^2} \sum_i q_i a_i = \frac{9}{8} q \frac{(x-1)^2}{(2x+1)(4x+3)} \frac{a^{10}}{R_1^2 R_2^2} A_{122} a_1$$

a napätie na elektródach  $M$  a  $N$  v dôsledku toho je:

$$V_M - V_N = \frac{9}{4} q \frac{(x-1)^2}{(2x+1)(4x+3)} \frac{a^{10}}{R_1^2 R_2^2} A_{12} a^4.$$

Tomuto potenciálovému rozdielu zodpovedá relatívna anomália zdanlivého špecifického odporu

$$\Delta_7 = \frac{9}{4} \frac{a^{10}}{(2x+1)(4x+3)} \cdot \frac{\xi A_{12} a^4}{R_1^2 R_2^2}.$$

Vychádzajúc z definície tenzoru  $A_{ik}$  uvedenej v § 1 (vzorec 4), ľahko sa presvedčíme, že:

$$A_{122} = \frac{1}{2} A_1 (5A_2^2 - 1),$$

konečne preto dostávame:

$$\Delta_7 = a^{10} \frac{(x-1)^2}{(2x+1)(4x+3)} G_7, \quad (23)$$

kde

$$G_7 = \frac{9\xi \cos \varphi \cos \lambda}{8 R_1^2 R_2^2} (5 \sin^2 \varphi - 1) = \frac{9}{8} \xi \cos \varphi \sin^4 \varphi \cos \lambda \sin^2 \lambda (5 \sin^2 \varphi - 1), \quad (24)$$

je geometricky určená veličina závislá len od voľby parametra  $\xi$ .

### § 9. VZORCE PRE ZDANLIVÝ ŠPECIFICKÝ ODPOR PRI SONDOVANÍ WENNEROVOU METÓDOU

Na základe poznatkov, ku ktorým sme dospeli v § 7 a § 8, ľahko si odvodíme vzorec pre zdanlivý špecifický odpor pri sondovaní Wennerovou metódou, ak stred sondáže je v bode  $C$  (v. obr. 4), t. j. presne nad stredom uvažovanej guľovej vložky. Ak si totiž zdanlivý špecifický odpor označíme  $\bar{\rho}$ , môžeme relatívnu hodnotu anomálie  $\Delta$  definovať vzorcom:

$$\Delta = \frac{\bar{\rho}}{\rho_1} - 1$$

a ak sa obmedzíme na členy, v ktorých vystupuje najvyššia desiatka mocnina polomeru  $a$ , zrejme platí:

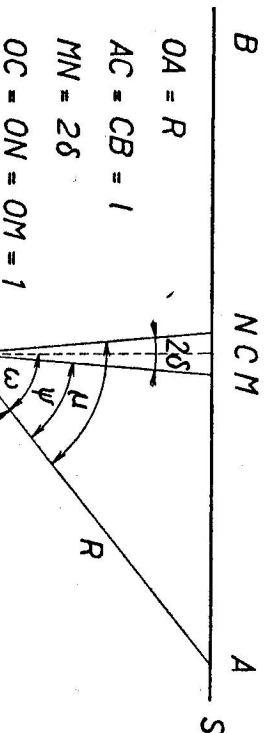
$$\Delta = \sum_{i=0}^7 \Delta_i,$$

pričom hodnoty  $\Delta_i$  vyplývajú z príslušných rovníc oboch predchádzajúcich paragrafov. Preto môžeme pre Wennerovu schému písať vzorec:

$$\begin{aligned} \Delta = & a^3 \frac{x-1}{2x+1} F_1 + a^5 \frac{x-1}{3x+2} F_2 + a^7 \frac{x-1}{4x+3} F_3 + a^9 \frac{x-1}{5x+4} F_4 + \\ & + a^6 \left( \frac{x-1}{2x+1} \right)^2 \cdot G_1 + a^8 \frac{(x-1)^2}{(2x+1)(3x+2)} (G_3 + G_5) + a^9 \left( \frac{x-1}{2x+1} \right)^3 G_2 + \\ & + a^{10} \left[ \frac{(x-1)^2}{(2x+1)(4x+3)} (G_4 + G_6) + \left( \frac{x-1}{3x+2} \right)^2 \cdot G_6 \right]. \end{aligned} \quad (1)$$

Vychádzajúc z tejto rovnice môžeme sa najprv presvedčiť, že sa v nej uplatňuje známy princíp reciprocity, ktorý spočíva v tom, že sa hodnota zdanlivého špecifického odporu nezmení, ak premiestnime sýtnu elektródu do bodov  $M$  a  $N$  a potenciálové do bodov  $A$  a  $B$ .

Tento princíp platí pre ľubovoľný z prvých štyroch členov na pravej strane rovnice 1 preto, lebo vo výrazoch (2), § 7 sa pri takomto premiestnení elektród



Obr. 6

uhlý  $\varphi$  a  $\mu$  nemenia, ako sa presvedčíme na obr. 4, a tieto výrazy sú súmerné v  $R_1$  a  $R_2$ . Členy:

$$a^6 \left( \frac{x-1}{2x+1} \right)^2 G_1, \quad a^9 \left( \frac{x-1}{2x+1} \right)^3 G_2, \quad a^{10} \left( \frac{x-1}{3x+2} \right)^2 \cdot G_6$$

sa tiež nemenia, lebo výrazy pre  $G_1$ ,  $G_2$  a  $G_6$  [v. vzorec (4a), (8) a (21), § 8] sú vo  $\varphi$  a  $\lambda$  súmerné.

Ak vo vzorci (10), § 8 píšeme  $\lambda$  namiesto  $\varphi$  a opačne, dostávame výraz:

$$3\xi \sin^4 \varphi \cos \varphi \sin^2 \lambda \cos \lambda.$$

Tento výraz je totožný s výrazom, ktorý sme odvodili pre  $G_6$  [vzorec (18), § 8].

Pri tejto zamene teda  $G_3$  predchádza v  $G_6$  a opačne, takže hodnota výrazu

$$a^8 \frac{(x-1)^2}{(2x+1)(3x+2)} (G_3 + G_6)$$

sa nezmení. Prevedúce tú istú zámennu vo vzorci (16a), § 8, pre  $G_4$  dostávame výraz:

$$\frac{9}{8} \xi \cos \lambda \cos \varphi \sin^2 \lambda \sin^4 \varphi (5 \sin^2 \varphi - 1),$$

ktorý sa úplne zhoduje s výrazom (24), § 8, ktorý sme odvodili pre  $G_7$ . Predchádza teda podobne ako predtým  $G_4$  v  $G_7$  a opačne, takže hodnota výrazu

$$a^{10} \frac{(x-1)^2}{(2x+1)(4x+3)} (G_4 + G_7)$$

zostáva tiež nezmenená. Tým sme dokázali, že sa v rovnici (1) uplatňuje princíp reciprocity.

V prípade, že materiál gule je dokonale nevodivý, kladíme v rovnici (1)  $\kappa = \infty$  a dostávame:

$$A = \frac{1}{2} a^3 F_1 + \frac{1}{3} a^5 F_2 + \frac{1}{4} a^7 F_3 + a^9 \left( \frac{1}{5} F_4 + \frac{1}{8} G_2 \right) + \frac{1}{4} a^9 G_1 + \frac{1}{6} a^9 (G_3 + G_6) + a^{10} \left[ \frac{1}{8} (G_4 + G_7) + \frac{1}{9} G_6 \right]. \quad (1a)$$

V prípade, že hmota guľovej vložky je dokonale vodivá, je  $\kappa = 0$  a rovnica (1) nadobúda tvar:

$$A = - \left\{ a^3 F_1 + \frac{1}{2} a^5 F_2 + \frac{1}{3} a^7 F_3 + a^9 \left( \frac{1}{4} F_4 + G_2 \right) - a^9 G_1 - \frac{1}{2} a^9 (G_3 + G_6) - a^{10} \left[ \frac{1}{3} (G_4 + G_7) + \frac{1}{4} G_6 \right] \right\}. \quad (1b)$$

#### § 10. ZDANLIVÝ ODPOR PRI SONDOVANÍ SCHLUMBERGEROVOU METÓDOU

Pri doterajších úvahách sme sa zameriavali prevažne na Wennerovu metódu, pri ktorej vzdialenosti elektród vyhovujú podmienke  $AM = MN = NB$  ( $= \xi$ ). Úvahy, ktoré sme vykonali, môžeme však bez väčších ťažkostí použiť pre odvodenie teoretických vzorov pre merania s akonkoľvek symetrickou štvorelektrodovou schémou, ak stred súmernosti tejto schémy je v bode  $C$  (obr. 4) a ak všetky elektródy sú v jednej priamke. Odvodíme patríčné vzorce pre dobre známou Schlumbergerovu schému, ktorá je znázornená na obr. 6, pri ktorej vzdialenosť potenciálových elektród  $MN = 2\delta$  je v porovnaní so vzdialenosťou sýťných elektród  $AB = 2l$  nepatrná. Hĺbku stredu gule  $O$  pod povrchom  $S$  volíme za jednotku dĺžky kladúc  $OC = 1$ . Pri tejto voľbe je zrejme  $\chi_{MON} = 2\delta$ .

Ak pri sýťení elektródami  $A$  a  $B$  zisťujeme na elektródach  $M$  a  $N$  potenciálový rozdiel  $V_M - V_N$ , zdánlivý špeciálny odpor pri Schlumbergerovej schéme je:

$$\bar{\varrho} = \varrho_1 \frac{\rho^2 (V_M - V_N)}{4q\delta},$$

kým pri Wennerovej schéme bolo:

$$\bar{\varrho} = \varrho_1 \frac{\xi (V_M - V_N)}{q},$$

prícom v oboch prípadoch je:

$$q = \frac{I\varrho}{2\pi}.$$

Preto ak chceme prejsť s Wennerovej schémy na Schlumbergerovu schému, musíme vo všetkých vzorcoch (2), § 7 pre  $F_1, F_2$  atď. a vo vzorcoch (4a), (8), (10), (16a), (18), (21) a (24), § 8 pre  $G_1, G_2, \dots, G_7$  nahradiť  $\xi$  veľičinou

$$\eta = \frac{l^2}{4\delta}.$$

Vo všetkých týchto vzorcoch kladíme  $R_1 = 1$  a namiesto  $R_2$  píšeme  $R$ . Pre uhly  $\psi$  a  $\mu$ , ktoré vystupujú vo vzorcoch (2), § 7, teraz platí:

$$\psi = \omega - \delta, \quad \mu = \omega + \delta, \quad \omega = \frac{\pi}{2} - \varphi.$$

Pre ľubovoľný z Legendreových polynómov  $P_n$  pri malých uhloch  $\delta$  platí:

$$P_n(\cos \psi) = P_n(\cos \omega) - \delta \cdot \frac{dP_n(\cos \omega)}{d\omega}$$

a práve tak

$$P_n(\cos \mu) = P_n(\cos \omega) + \delta \cdot \frac{dP_n(\cos \omega)}{d\omega}.$$

V dôsledku toho v rovniciach (2), § 7 píšeme namiesto rozdielov  $P_n(\cos \psi) - P_n(\cos \mu)$  výrazy:

$$-2\delta \frac{dP_n(\cos \omega)}{d\omega}.$$

Pre sondovanie Schlumbergerovou metódou preto veľičiny  $F_1, F_2$  atď. na rozdiel od vzorov (2), § 7 definujeme takto:

$$\begin{aligned} F_1 &= -\frac{2l^2}{R^2} \frac{dP_1(\cos \omega)}{d\omega} & F_3 &= -\frac{6l^2}{R^4} \frac{dP_3(\cos \omega)}{d\omega} \\ F_2 &= -\frac{4l^2}{R^2} \frac{dP_2(\cos \omega)}{d\omega} & F_4 &= -\frac{8l^2}{R^8} \frac{dP_4(\cos \omega)}{d\omega} \end{aligned} \quad (1)$$

atď.

Derivácie Legendreových polynómov, ktoré sa v týchto vzorcoch vyskytujú, sú pre numerické výpočty tabuľkované napr. u Jahňke — Emdeho (II. ruské vydanie, 222—223).

Uhlu  $\lambda$  na obr. 4 pri Schlumbergerovej schéme znázornenej na obr. 6 zodpovedá uhol  $\frac{\pi}{2} - \delta$ . Preto pri prechode k tejto schéme musíme v prísušných rovniciach, ktoré sme v § 8 odvodili pre  $G_1, G_2, \dots, G_7$ , okrem ostatných nevyhnutých zmien tiež písať:

$$\cos \lambda = \delta, \quad \sin \lambda = 1.$$

Po vykonaní všetkých potrebných zmien dostávajúme:

$$\begin{aligned}
 G_1 &= \frac{1}{4} l^2 \cos \varphi \sin^2 \varphi & G_5 &= \frac{3}{4} l^2 \cos \varphi \sin^4 \varphi \\
 G_2 &= \frac{1}{32} l^2 \cos \varphi \sin^2 \varphi & G_6 &= 3l^2 \cos \varphi \sin^4 \varphi \\
 G_3 &= \frac{3}{4} l^2 \cos \varphi \sin^2 \varphi & G_7 &= \frac{9}{32} l^2 \cos \varphi \sin^4 \varphi (5 \sin^2 \varphi - 1) \\
 G_4 &= \frac{9}{8} l^2 \cos \varphi \sin^2 \varphi & &
 \end{aligned}
 \tag{2}$$

Vzorec pre relatívnu hodnotu anomálie zdaniľového špecifického odporu má ten istý tvar ako pri Wennerovej metóde, (t. j. vzorec (1), § 9), avšak na rozdiel od § 7 a § 8 pre Schlumbergerovu schému definujeme funkcie  $F_i$  a  $G_i$  vzorcami (1) a (2) tohto paragrafu.

### § 11. ZHODNOTENIE VÝSLEDKOV NA ZÁKLADE VYPOČÍTANÝCH ČÍSELNÝCH ÚDAJOV

Tab. 1. Hodnoty  $F_i$  pri sondáži Wennerovou metódou

$\xi$	$F_1$	$F_2$	$F_3$	$F_4$	$F_5$	$F_6$	$F_7$
0,2	0,0416	0,2268	0,6023	1,1540	1,8140	2,4710	3,0040
0,4	0,2287	0,9696	1,8570	2,3090	1,9870	0,9858	0,2579
0,6	0,4678	1,4210	1,7010	0,9677	-0,0929	-0,7018	-0,6782
0,8	0,6451	1,3670	0,9245	+0,0342	-0,3540	-0,2415	-0,0692
1,0	0,7330	1,0820	0,3752	+0,1358	-0,1281	-0,0270	-0,0181
1,2	0,7489	0,7789	0,1192	-0,0833	-0,0200	-0,0042	-0,0147
1,6	0,6659	0,3599	0,0139	-0,0022	+0,0040	+0,0036	-0,0020
2,0	0,5385	0,1610	0,0000	+0,0067	0,0006	-0,0008	-0,0001
3,0	0,2825	0,0246	0,0032	—	—	—	—
4,0	0,1529	0,0050	0,0012	—	—	—	—
6,0	0,0551	0,0004	0,0001	—	—	—	—
8,0	0,0251	—	—	—	—	—	—
10,0	0,0134	—	—	—	—	—	—

Na konci tejto práce v tabuľke 1 uvádzam číselné hodnoty funkcií  $F_1, F_2, \dots, F_7$  pri sondáži Wennerovou metódou nad stredom gule. Tieto hodnoty som vypočítal pre rozličné vzdialenosti potenciálových elektród od  $\xi = 0,2$  do  $\xi = 10,0$ . Na základe hodnôt uvedených v tejto tabuľke možno vypočítat približné hodnoty anomálií zdaniľového špecifického odporu pre ľubovoľné  $\kappa$  a  $a$  podľa vzorca (3), § 7.

V tabuľke 2. sú uvedené číselné hodnoty funkcií  $G_1, G_2, \dots, G_7$  tiež pre

Tab. 2. Hodnoty  $G_i$  pri sondáži Wennerovou metódou

$\xi$	$G_1$	$G_2$	$G_3$	$G_4$	$G_5$	$G_6$	$G_7$
0,2	0,0051	0,0006	0,0154	0,0229	0,0143	0,0567	0,0193
0,4	0,0286	0,0036	0,0824	0,1177	0,0631	0,2429	0,0633
0,6	0,0585	0,0073	0,1610	0,2166	0,3555	0,3555	0,0640
0,8	0,0807	0,0101	0,2085	0,2587	0,0992	0,3418	0,0390
1,0	0,0916	0,0115	0,2199	0,2473	0,0846	0,2706	0,0171
1,2	0,0936	0,0117	0,2065	0,2074	0,0744	0,0900	0,0044
1,6	0,0832	0,0104	0,1522	0,1522	0,0369	0,1945	0,0036
2,0	0,0671	0,0084	0,1007	0,0084	0,0201	0,0403	-0,0038
3,0	0,0353	0,0044	0,0326	0,0066	0,0061	0,0061	-0,0014
4,0	0,0191	0,0024	0,0115	0,0000	0,0016	0,0012	-0,0005
6,0	0,0069	0,0009	0,0021	-0,0004	0,0003	0,0003	-0,0001
8,0	0,0031	0,0004	0,0006	-0,0001	0,0001	—	—
10,0	0,0017	0,0002	0,0002	-0,0001	—	—	—

Wennerovu metódu. Pri použití tabuľky 1 a 2 možno preto vypočítat teoretické sondážne krivky pre túto metódu s presnosťou na čteny, v ktorých vystupuje nanejvýš desiatka mocnina polomeru gule  $a$ .

Tab. 3. Hodnoty  $F_i$  pri sondáži Schlumbergerovou metódou

1	$F_1$	$F_2$	$F_3$	$F_4$	$F_5$	$F_6$	$F_7$
0,3	0,0467	0,2613	0,7028	0,8626	2,184	3,032	+3,757
0,6	0,2725	1,212	2,414	3,164	+2,782	+1,337	-0,9367
0,9	0,6166	1,985	2,621	+1,581	-0,5597	-2,389	-2,830
1,2	0,9067	2,230	1,753	-0,2008	-1,729	-0,6267	-0,6267
1,5	1,152	2,128	0,8606	-0,9439	-1,351	-0,5864	+0,2224
1,8	1,335	1,889	+0,2536	-1,001	-0,7884	-0,0658	0,2642
2,4	1,572	1,396	-0,2730	-0,6761	-0,1972	+0,1720	0,0861
3,0	1,707	1,024	-0,3843	-0,3927	-0,0304	0,0627	0,0208
4,5	1,862	0,5264	-0,3019	-0,1104	+0,0148	0,0112	0,0002
6,0	1,922	0,3118	-0,2023	-0,0396	0,0084	0,0025	-0,0002
9,0	1,959	0,1431	-0,1007	-0,0084	0,0023	0,0003	—
12,0	1,982	0,0822	-0,0595	-0,0028	0,0008	—	—
15,0	1,989	0,0529	-0,0388	-0,0012	0,0003	—	—

Tabuľka 3 uvádza hodnoty funkcií  $F_1, F_2, \dots, F_7$  pre sondovanie Schlumbergerovou metódou. Argumentom v tomto prípade je polovičná vzdialenosť sýňnych elektród  $l$ , ktorá sa mení od  $l = 0,3$  do  $l = 15,0$ . Tabuľka 4 udáva pre tie isté hodnoty argumentu  $l$  hodnoty funkcií  $G_1, G_2, \dots, G_7$ . Na základe hodnôt uvedených v týchto tabuľkách možno vypočítat teoretické sondážne diagramy pre Schlumbergerovu schému pri ľubovoľných hodnotách  $a$  a  $\kappa$  podľa vzorca (1), § 9.

Po odvodení príslušných vzorcov [najmä (1), § 9.] je prirodzene prvou úlohou skúmať veľkosť anomálií pri rozličných hodnotách  $a$  a  $\kappa$  a zo získaných

Tab. 4. Hodnoty  $G_i$  pri sondáži Schlumbergerovou metódou

1	$G_1$	$G_2$	$G_3$	$G_4$	$G_5$	$G_6$	$G_7$
0,3	+ 0,0059	+ 0,0007	+ 0,0178	+ 0,0267	+ 0,0163	+ 0,0653	+ 0,0220
0,6	0,0341	0,0043	0,1022	0,1533	0,0752	0,3007	0,0755
0,9	0,0748	0,0094	0,2246	0,3367	0,1240	0,4961	0,0819
1,2	0,1133	0,0142	0,3402	0,5101	0,1394	0,5576	0,0548
1,5	0,1440	0,0180	0,4321	0,6480	0,1329	0,5319	0,0269
1,8	0,1669	0,0214	0,5002	0,7509	0,1180	0,4721	+ 0,0079
2,4	0,1965	0,0246	0,5898	0,8845	0,0872	0,3489	- 0,0085
3,0	0,2134	0,0267	0,6403	0,9603	0,0640	0,2561	- 0,0120
4,5	0,2328	0,0291	0,6984	1,047	0,0329	0,1315	- 0,0094
6,0	0,2402	0,0300	0,7306	1,081	0,0195	0,0780	- 0,0063
9,0	0,2448	0,0306	0,7347	1,102	0,0089	0,0358	- 0,0031
12,0	0,2477	0,0310	0,7433	1,115	0,0051	0,0205	- 0,0019
15,0	0,2488	0,0311	0,7459	1,119	0,0033	0,0132	- 0,0012

výsledkov vyvodzovať uzávery čo do praktického použitia odporových metód aplikovanej geoelektriky pre zisťovanie a lokalizáciu sférických alebo približne sférických telies. Keďže najväčšie anomálie (či už kladné alebo záporné) dostávajúme pri  $\kappa = 0$  alebo  $\kappa = \infty$ , vypočítal som rad teoretických kriviek pre tieto krajné prípady (t. j. pre guľu dokonale vodivú alebo dokonale nevodivú).

Tab. 5. Relatívne hodnoty anomálií zdaniľového špecifického odporu vyjadrené v percentách pri odporovej sondáži podľa Wennerovej schémy  $\kappa = 0$

$\xi$	$\alpha = 0,4$	$\alpha = 0,5$	$\alpha = 0,6$	$\alpha = 0,7$	$\alpha = 0,8$	$\alpha = 0,9$
0,2	- 0,4	1,1	- 2,7	7,0	- 19,6	- 58,3
0,4	- 2,1	4,8	- 10,7	22,8	- 48,2	- 102,6
0,6	- 3,8	8,3	- 16,7	31,1	- 54,7	90,8
0,8	- 4,8	10,2	- 19,2	33,5	- 54,1	81,6
1,0	- 5,2	10,7	- 19,1	32,7	- 50,7	73,2
1,2	- 5,2	10,4	- 18,7	30,5	- 46,2	65,2
1,6	- 4,4	8,8	- 15,4	24,6	- 36,6	51,1
2,0	- 3,5	6,9	- 12,0	19,0	- 28,1	39,0
3,0	- 1,8	3,5	- 6,1	9,7	- 14,3	20,0
4,0	- 1,0	1,9	- 3,3	5,2	- 7,7	10,9
6,0	- 0,4	0,7	- 1,2	1,9	- 2,8	4,0
8,0	- 0,2	0,3	- 0,5	0,9	- 1,3	1,8
10,0	- 0,1	0,2	- 0,3	0,5	- 0,7	1,0

V tabulke 5 sú uvedené číselné hodnoty:

$$100 \left( \frac{\bar{\rho}}{\rho_1} - 1 \right),$$

t. j. relatívne hodnoty anomálií zdaniľového špecifického odporu v percentách pri použití Wennerovej schémy a pri  $\kappa = 0$ , v tabulke 6 tie isté hodnoty pri  $\kappa = \infty$ . V prvom stĺpci týchto tabuliek vystupuje argument  $\xi$ . Ostatné stĺpce

Tab. 6. Relatívne hodnoty anomálií zdaniľového špecifického odporu vyjadrené v percentách pri odporovej sondáži podľa Wennerovej schémy  $\kappa = \infty$

$\xi$	$\alpha = 0,4$	$\alpha = 0,5$	$\alpha = 0,6$	$\alpha = 0,7$	$\alpha = 0,8$	$\alpha = 0,9$
0,2	0,2	0,7	1,9	5,4	16,0	49,3
0,4	1,2	3,0	7,0	16,3	37,3	84,6
0,6	2,1	4,8	10,3	20,8	40,2	73,9
0,8	2,6	5,7	11,4	21,3	38,0	65,0
1,0	2,8	5,8	11,2	20,0	34,1	56,3
1,2	2,7	5,6	10,4	18,0	29,9	48,0
1,6	2,3	4,6	8,3	13,0	22,2	34,4
2,0	1,8	3,6	6,3	10,4	16,2	24,5
3,0	0,9	1,8	3,1	5,1	7,7	11,3
4,0	0,5	1,0	1,7	2,7	4,0	5,8
6,0	0,2	0,3	0,6	0,9	1,4	2,1
8,0	0,1	0,2	0,3	0,4	0,6	0,9
10,0	0,0	0,1	0,1	0,2	0,3	0,5

predstavujú sondážne diagramy pri rozličných hodnotách  $\alpha$  (od 0,4 do 0,8). Prislušná hodnota  $\alpha$  je pritom uvedená v záhlaví každého stĺpca. Percentuálne hodnoty relatívnych anomálií zdaniľového odporu pre Schlumbergerovu metódu sú uvedené v tabulke 7 (pre  $\kappa = 0$ ) a v tabulke 8 (pre  $\kappa = \infty$ ). Obe tieto tabuľky sú zostavené podľa tej istej schémy ako tabuľka 6 a 7, len s tým rozdielom, že ako argument tu vystupuje v prvom stĺpci polovičná vzdialenosť sýtnych elektród  $l$ .

Tab. 7. Relatívne hodnoty anomálií zdaniľového špecifického odporu vyjadrené v percentách pri odporovej sondáži podľa Schlumbergerovej schémy  $\kappa = 0$

1	$\alpha = 0,2$	$\alpha = 0,3$	$\alpha = 0,4$	$\alpha = 0,5$	$\alpha = 0,6$	$\alpha = 0,7$	$\alpha = 0,8$
0,3	- 0,0	- 0,2	0,5	1,2	3,1	7,9	22,1
0,6	0,2	- 0,9	2,5	6,0	13,5	29,3	62,9
0,9	- 0,5	1,9	5,1	11,3	23,0	43,2	75,6
1,2	- 0,8	2,7	7,0	14,9	28,5	49,9	79,4
1,5	- 1,0	3,4	8,4	17,5	32,2	53,9	81,8
1,8	- 1,1	3,8	9,4	19,2	34,6	56,4	83,2
2,4	- 1,3	4,4	10,7	21,3	37,2	59,0	84,5
3,0	- 1,4	4,7	11,3	22,3	38,5	59,0	85,0
4,5	- 1,5	5,1	12,1	23,5	40,0	61,6	85,6
6,0	- 1,5	5,2	12,3	23,9	40,5	62,0	85,8
9,0	- 1,6	5,3	12,5	24,1	40,8	62,1	85,9
12,0	- 1,6	5,3	12,6	24,3	41,0	62,5	86,0
15,0	- 1,6	5,4	12,6	24,3	41,1	62,5	86,0

Okrem týchto tabuliek som vypočítal tiež sondážny diagram pre prípad pomerne malého odporového kontrastu  $\kappa = 2,0$  a veľkého polomeru  $\alpha = 0,8$ .

Tab. 8. Relatívne hodnoty anomálií zdaniľového špecifického odporu vyjadrené v percentách pri odporovej sondáži podľa Schlumbergerovej schémy  $\kappa = \infty$

1	$a = 0,2$	$a = 0,3$	$a = 0,4$	$a = 0,5$	$a = 0,6$	$a = 0,7$	$a = 0,8$
0,3	0,0	+0,1	+0,2	+0,7	+2,0	+5,8	+17,4
0,6	+0,1	0,5	1,4	3,6	8,7	20,5	47,1
0,9	0,3	1,0	2,7	6,5	14,1	28,5	54,1
1,2	0,4	1,4	3,7	8,4	16,9	31,8	55,6
1,5	0,5	1,7	4,4	9,6	18,7	33,5	56,5
1,8	0,6	1,9	4,9	10,4	19,7	34,4	56,8
2,4	0,6	2,2	5,5	11,3	20,7	35,2	57,0
3,0	0,7	2,4	5,8	11,8	21,2	35,6	56,8
4,5	0,7	2,6	6,1	12,3	21,8	36,0	56,7
6,0	0,8	2,6	6,3	12,4	22,0	36,1	56,7
9,0	0,8	2,6	6,3	12,5	22,0	36,1	56,6
12,0	0,8	2,7	6,4	12,6	22,1	36,2	56,6
15,0	0,8	2,7	6,4	12,6	22,2	36,2	56,6

Číselné hodnoty tohto diagramu, ktorý je platný pre Schlumbergerovu metódu, sú zostavené v tabuľke 9.

Tab. 9. Relatívne hodnoty anomálií zdaniľového špecifického odporu pri sondáži podľa Schlumbergerovej schémy,  $\kappa = 2,0$ ,  $a = 0,8$

1	100A	1	100A
0,3	+6,2	3,0	+21,3
0,6	17,2	4,5	21,3
0,9	19,9	6,0	21,3
1,2	20,6	9,0	21,3
1,5	21,0	12,0	21,3
1,8	21,2	15,0	21,3
2,4	21,3		

Pri numerických výpočtoch sa ukazuje, že pri hodnotách  $a \geq 0,7$  rad

$$a^3 \frac{\kappa - 1}{2\kappa + 1} F_1 + a^6 \frac{\kappa - 1}{3\kappa + 2} F_2 + a^9 \frac{\kappa - 1}{4\kappa + 3} F_3 + a^{12} \frac{\kappa - 1}{5\kappa + 4} F_4 + \dots$$

nekonverguje dostatočne rýchle. K výpočtu tabuliek 5—9 som preto použil namiesto (1), § 9 rozšírený vzorec a zaviedol som ďalšie členy s  $F_5$ ,  $F_6$  a  $F_7$ . Tento vzorec má tvar:

$$A = \sum_{n=1}^7 a^{2n+1} \frac{\kappa - 1}{(n+1)\kappa + n} F_n + G,$$

kde  $G$  znamená súčet všetkých členov vo vzorci (1), § 9, v ktorých vystupujú  $G_1$ ,  $G_2$ ,  $G_3, \dots, G_7$ .

Z tabuliek 5—9 vidieť, že anomálie spôsobené guľovou vložkou nie sú pomerne veľké. Prítom vodičá guľa uložená v slabšie vodičom prostredí spôsobuje väčšiu relatívnu anomáliu ako nevodivá guľa toho istého polomeru a uložená v tej istej hĺbke v prostredí s vysokou vodičivosťou. Toto možno konštatovať pre Wennerovu, ako aj pre Schlumbergerovu schému, ak porovnáme výsledky v tabuľkách 5 a 6, resp. 7 a 8. Vodivé teleso uložené v slabo vodičom prostredí je preto vhodnejším objektom pre sledovanie odporov metódou ako nevodivé teleso vo vodičom prostredí pri tých istých rozmeroch a geometrických pomeroch uloženia.

Pri porovnaní tabulky 5 a 7, prípadne 6 a 8 vidíme, že Wennerova metóda pri tých istých fyzikálnych a geologických podmienkach dáva menšie hodnoty anomálií ako Schlumbergerova metóda, ktorá teda po tejto stránke je výhodnejšia, práve preto však je na všetky druhy inhomogenity uvažovaného polopriestoru citlivejšia. Tieto inhomogenity sa dajú schematizovať sférickými telesami. V praxi ide najmä o inhomogenity povrchovej oblasti. Túto okolnosť treba uvážiť tým viac, lebo z príčin, ktoré v krátkosti uvádzame neskor, sondážne krivky získané Schlumbergerovou metódou aj pri značnej povrchovej inhomogenite môžu mať hladší priebeh ako krivky získané Wennerovou metódou, a preto môžu zvädzať k nesprávne predpokladu, že Wennerova metóda podlieha rušivým vplyvom takejto inhomogenity vo väčšej miere.

Ide v podstate o to, že kým pri Wennerovej schéme charakter sondážnych kriviek predstavovaných v tabuľke 5 a 6 je trojvrstevný (t. j. podobný ako v prípade troch vodorovných rovinných vrstiev), zatiaľ charakter kriviek zodpovedajúcich Schlumbergerovej schéme, ako vidíme z tabulky 7, 8 a 9, je výrazne dvojvrstevný. Napr. pri  $\kappa > 1$  Wennerov odporový diagram pri vzrastajúcom  $\xi$  najprv postupne stúpa, pri určitej hodnote  $\xi_{max}$  však dosahuje svoju najväčšiu hodnotu a potom opäť klesá, približujúce sa asymptoticky hodnote platnej pre  $\xi = 0$ . Naproti tomu diagram získaný za tých istých podmienok Schlumbergerovou metódou nevykazuje maximum a pri vzrastajúcom  $l$  stúpa takmer vo všetkých vypočítaných prípadoch monotónne (s výnimkou prípadov  $a = 0,8$ , tabuľka 8) a približuje sa asymptoticky určitej hodnote, ktorá je totožná, alebo veľmi približne rovná maximu anomálie. To isté platí aj v prípade  $\kappa < 1$ , prirodzene však v opačnom zmysle.

Preto napr. pri Wennerovej metóde každá sférická (alebo približne sférická) inhomogenita povrchovej oblasti v blízkosti stredu elektródovej sústavy dáva pri dostatočných rozmeroch a pri dostatočnom odporovom kontraste na odporovom diagrame ostrý výbežok („zub“), avšak pri zväčšovaní vzdialenosti elektród vplyv inhomogenity postupne mizne. Naproti tomu pri Schlumbergerovej metóde, kde vzdialenosť potenciálových elektród zostáva za sondovania konštantná, vplyv inhomogenity vzrastá najprv pomerne rýchle, neskôr pomalšie, až do ustálenia a potom zostáva konštantný. Výbežok na odporovom diagrame buď vôbec nevnúka alebo nie je výrazný, zato však vplyv inhomogenity



genity sa zväčšovaním vzdialenosti  $l$  medzi sýtnymi elektródami neďa odstrániť a uplatňuje sa pri dostatočne veľkom  $l$  v konštantnej miere do ľubovoľných hĺbok.

Fakt, ktorý sme tu konštatovali, možno objasniť tiež takouto elementárnou úvahou. Zo vzorcov (2), § 7 je zrejme, že všetky hodnoty  $F_i$  pri Wennerovom usporiadaní konvergujú k nule, ak  $\xi$  vzrastá k nekonečnu a z príslušných vzorcov § 8 [(4a), (8), (10), (16), (18), (21), (24)] pri tomto usporiadaní vyplýva to isté aj pre všetky hodnoty  $G_i$ . Preto:

$$\lim_{\xi \rightarrow \infty} \Delta = 0.$$

Pri Schlumbergerovom usporiadaní je naproti tomu podľa vzorcov (1), § 10:

$$\lim_{l \rightarrow \infty} F_1 = -2 \cdot \left( \frac{dP_1(\cos \omega)}{d\omega} \right)_{\omega = \frac{\pi}{2}} = 2,$$

$$\lim_{l \rightarrow \infty} F_i = 0 \text{ ak } i \geq 2.$$

Keďže platí, ako sa ľahko z obr. 6 presvedčíme,

$$\lim_{l \rightarrow \infty} l^2 \sin^2 \varphi = 1, \quad \lim_{l \rightarrow \infty} l^2 \sin^4 \varphi = 0,$$

zo vzorcov (2), § 10 dostávame:

$$\lim_{l \rightarrow \infty} G_1 = \frac{1}{4}, \quad \lim_{l \rightarrow \infty} G_2 = \frac{1}{32}, \quad \lim_{l \rightarrow \infty} G_3 = \frac{3}{4}, \quad \lim_{l \rightarrow \infty} G_4 = \frac{9}{8},$$

$$\lim_{l \rightarrow \infty} G_5 = \lim_{l \rightarrow \infty} G_6 = \lim_{l \rightarrow \infty} G_7 = 0,$$

a preto pri tomto usporiadaní je:

$$\lim_{l \rightarrow \infty} \Delta = 2a^3 \frac{\kappa - 1}{2\kappa + 1} + \frac{a^6}{4} \left( \frac{\kappa - 1}{2\kappa + 1} \right)^2 + \frac{3a^8}{4} \frac{(\kappa - 1)^2}{(2\kappa + 1)(3\kappa + 2)} +$$

$$+ \frac{a^9}{32} \left( \frac{\kappa - 1}{2\kappa + 1} \right)^3 + \frac{9a^{10}}{8} \frac{(\kappa - 1)^2}{(2\kappa + 1)(4\kappa + 3)} \neq 0.$$

Bolo by iste veľmi zaujímavé vyšetriť po tejto stránke tiež iné sondovacie metódy. Zdá sa totiž, že všetky metódy, pri ktorých pri sondáži postupne zväčšujeme obe vzdialenosti  $AB$  a  $MN$  tak, že  $AB \rightarrow \infty$  a tiež  $MN \rightarrow \infty$ , chovajú sa podobne ako pri Wennerovej metóde, kým všetky ostatné metódy, pri ktorých  $MN$  (alebo  $AB$ ) je konštantné alebo zostáva konečné aj pri  $AB \rightarrow \infty$  ( $MN \rightarrow \infty$ ), chovajú sa podobne ako pri Schlumbergerovej metóde. Zaujímá nás prirodzene tiež veľkosť odporových anomálií a z praktického hľadiska zvlášť dôležitá je otázka, aký musí byť pri danej hĺbke polomer gule, aby jej odporový účinnok bol na zemskom povrchu merateľný. Pravda, odporové účinky závisia pritom tiež od pomeru špecifických odporov  $\kappa$ . Reálna presnosť odporových meraní je normálne asi  $\pm 5\%$ . Ak chceme určiť anomáliu interpretovať, musíme nevyhnutne požadovať, aby jej veľkosť do-

sahovala niekoľkonásobok tejto percentuálnej hodnoty. Mienky praktikov sa čo do spodnej hranice interpretovateľnosti veľmi rozchádzajú. Ak však považujeme  $\delta = 20\%$  za túto spodnú hranicu, táto je skôr príliš nízka ako príliš vysoká. Potom však výsledky výpočtov zhrnuté v tabuľke 5 a 6 ukazujú, že aj v prípade najpriaznivejších odporových kontrastov musí byť pri Wennerovej metóde pri  $\kappa = 0$  a  $a > 0,6$  a pri  $\kappa = \infty$  a  $a \geq 0,7$ . Omiečo priaznivejšie výsledky v tomto ohľade dáva Schlumbergerova metóda, kde pri  $\kappa = 0$  musí byť  $a \geq 0,5$  a pri  $\kappa = \infty$  a  $a \geq 0,6$  (v tab. 7 a 8). Avšak aj pri tejto metóde musí byť napr.  $a \geq 0,8$ , ak  $\kappa = 2$ , ako vidíme z tabuľky 9.

Poloha maxima anomálie v sondážnom diagrame ( $\xi$ ,  $\varrho$ ) pri Wennerovej metóde závisí od hodnoty polomeru  $a$ . Ak napr.  $a = 0,4$ , maximom anomálie dostávame pri  $\xi \sim 1$ , kým pri  $a = 0,8$  nastáva maximum už pri  $\xi \sim 0,6$ .

Je prirodzené, že záporné anomálie môžu dosahovať najvyššiu relatívnu hodnotu  $-100\%$ . Tento hranici sa pri Schlumbergerovej metóde približuje už hodnota  $-86\%$ , vypočítaná pre  $\kappa = 0$ ,  $a = 0,8$ .

Možno však usudzovať, že ani kladné anomálie nebudú dosahovať hranice  $+100\%$ , ak len povrch gule nepretína zemský povrch (teda ak  $a < 1$ ). Vyplyva to už zo zisteného faktu, že v tomto prípade dokonale vodivá guľa v slabšie vodivom prostredí spôsobuje väčšiu zápornú relatívnu anomáliu ako je kladná anomália dokonale nevodivej gule vo vodivom prostredí pri tých istých geometrických podmienkach.

Došlo dňa 10. januára 1954.

*Katedra banského merania a geofyziky*

*Ugostovej školy technickej,*

*Košice.*

#### LITERATÚRA

1. Landau-Lifšic, Teória pola, 2. vyd., §§ 39—41.
2. Lipskaja, Anomálie pole lokálnej neodnorodnosti s konečným znakom elektroprovodnosti. Izv. akad. nauk SSSR, No 6, 1953.
3. Zaborovskij, Zadača o sfere v teorii elektrozaviedki. Bnll. nefijanoj promyšlenosti II, 1936.
4. Huber, Die Randwertaufgabe der Geoelektrik für Kugel und Zylinder. Zschr. f. angew. Mathem. u. Mech. 10/11, 1953.

### О ПОЛЕ ЭЛЕКТРИЧЕСКОГО ТОКА В ОДНОРОДНОМ ПОЛУПРОСТРАНСТВЕ СОДЕРЖАЩЕМ ЦИРООБРАЗНУЮ ВКЛАДКУ С ОТЛИЧАЮЩЕЙСЯ ПРОВОДИМОСТЬЮ

ТИВОР КОЛБЕНГАЕР

В м о д н ы

После резюмирования основных соотношений теории поля тока и теории шаровых функций, в § 2 рассмотрена проблема поля тока и бесконечном однородном полупространстве содержащем шарообразную вкладку. Рассматриваемое поле ин-

тается точечным источником находящимся вне шара. Выведены соответствующие соотношения для потенциала.

В § 3 теория расширена и рассмотрено питание дипольным источником. Если  $A_1, A_2, A_3, \dots$  обозначают компоненты тензоров направления для соединительной центра шара и источника, определяемых выражениями § 1,  $a_1, a_2, a_3, \dots$  — полярным образом определяемые компоненты тензоров направления для соединительной центра шара и любой точки  $P$ , то потенциал в этой точке выражается соотношением 9 (или 10) § 3, смотря по тому, находится-ли эта точка в внешней области или внутри шара (положение изображено на рис. 1, где объясняется также значение величин  $a, R, r$ ). В этих выражениях  $M, \bar{M}$  обозначает компоненты дипольного момента источника в любой прямоугольной картезианской системе,  $\kappa$  есть отношение удельного сопротивления шара ( $\epsilon_2$ ) к удельному сопротивлению во внешней области ( $\epsilon_1$ ).

В § 4 решена также самая проблема для случая питания квадратным и октапольным источниками. В случае квадратного питания потенциал в внешней области определен бесконечным рядом 7, в случае октапольного насыщения он определяется рядом, первый член которого приведен в соотношении 9 § 4. В этих выражениях  $M, \bar{M}$  обозначают компоненты момента квадратного или октапольного источника, значение других величин тоже самое как в § 3.

В § 5 рассматриваются отдельные члены бесконечных рядов, которые определяют потенциал в области вне шара при питании точечным, дипольным, квадратным или октапольным источником. Эти члены являются как потенциалы фиктивных мультипольных источников в центре шара. В § 6 рассматривается вопрос зеркалиния общих мультипольных источников на плоскости.

В § 7 дано приближительное решение проблемы геометрической кривой зондирования выражающей двуточечное насыщение в случае симметричного прямоугольного расположения электродов по системе Веннера или по любой другой системе: при этом центр измерения  $C$  расположен на земной поверхности, вертикально над центром шара. Общее положение изображено на рис. 4, где возможно найти объяснение значения некоторых величин, находящихся в соответствующих соотношениях. Уравнениями 2, в которых  $P_1, P_2, P_3, \dots$  обозначают соответствующие полные Лекжандра и  $\xi = MN$  — расстояние потенциалных электродов, определяется прежде всего ряд функций  $F_n$ . Если  $\bar{\epsilon}$  обозначает кажущееся удельное сопротивление при расстоянии расположения, относительно аномалию кажущееся сопротивление  $D_0 = \bar{\epsilon}/\epsilon_1 - 1$  выражает приближительная формула § 7.

Так как эта формула представляет собой только приближительное, иногда весьма неточное решение, в § 8 выведена более точные соотношения для метода Веннера; при этом наметен способ точного решения путем повторительного зеркалиния на плоскости, представляющей собой земную поверхность и на поверхности шара. Окончательная формула, которая, однако, опята только приближительная, но при этом она удовлетворяет по точности всем практическим требованиям, пока  $a < 0,9$  имеет следующий вид:

$$D = \sum_{n=1}^{\infty} \frac{\kappa - 1}{(n+1)\kappa + n} a^{2n+1} F_n + a^6 \left( \frac{\kappa - 1}{2\kappa + 1} \right)^2 G_1 + a^8 \frac{(\kappa - 1)^2}{(2\kappa + 1)(3\kappa + 2)} (G_2 + G_3) + a^6 \left( \frac{\kappa - 1}{2\kappa + 1} \right)^3 G_4 + a^{10} \left[ \frac{(\kappa - 1)^2}{(2\kappa + 1)(4\kappa + 3)} (G_4 + G_5) + \left( \frac{\kappa - 1}{3\kappa + 2} \right)^2 G_6 \right],$$

где функции  $F_1, F_2, \dots, F_7$  определены выражениями § 4, функции  $G_1, G_2, \dots, G_7$  определены выражениями 4а, 8, 10, 16а, 18, 21 и 24, § 8. Эта формула для относительной величины аномалии кажущегося относительного сопротивления при тех же самых

условиях выражает любое другое симметричное расположение электродов, но только после изменения величин функций  $F_n$  и  $G_n$ . В § 10 определяются эти функции уравнениями 1 и 2 для расположения электродов по способу Шлumbergera. При этом значение величин вступающих в эти формулы объяснено на рис. 6. Значения этих функций для метода Веннера собраны в таблицы 1 и 2, именно для 13 разных значений  $MN = \xi$  от 0,2 до 10,0. Если вставить значения данные в этих таблицах в формулу для вычисления относительных величин аномалий кажущегося сопротивления, можно с достаточной точностью вычислить теоретические кривые зондирования для любого  $a < 0,9$  и любого  $\kappa$ . В таб. 5 и 6 вычислены эти теоретические кривые для метода Веннера применяемого в обоих предельных случаях  $\kappa = 0$  и  $\kappa = \infty$ . При этом  $a$  приобретает значения 0,4, 0,5, ..., 0,8. Для метода Шлumbergera вычислены соответствующие кривые ( $\kappa = 0$  или-же  $\kappa = \infty, a = 0,2, 0,3, \dots, 0,8$ ) в таб. 7 и 8.

Таблица 9 соответствует расположению Шлumbergera при  $a = 0,8, \kappa = 2,0$ . Резюмирование результатов в § 11 приводит к нескольким замечательным следствиям, из которых важнее всех:

1. Относительные значения аномалий для обоих рассматриваемых расположений (также как в случае других симметрических установок) больше при  $\kappa = 0$  (проводящий шар в плохую проводящей среде) чем при  $\kappa = \infty$  (непроводящий шар в проводящей среде).
2. При установке Шлumbergera аномалия существенно больше чем при расположении Веннера. При этом это расположение более чувствительно к любым квадрупольным неоднородностям в поверхностной области.
3. В отличие от обычного случая горизонтального наклонения в случае шарообразной установки рассматриваемые два метода приводят к весьма отличающимся результатам. Уже один характер кривых зондирования отличается. Между тем как привычный метод Веннера при достаточно больших  $a$  и достаточноном контрасте сопротивлений  $\epsilon_2 : \epsilon_1$  эти кривые отличаются ясно выраженным максимумом или минимумом и поэтому их характер ясно трехступенчатый (аналогически с горизонтальным наклоном), кривые соответствующие установке Шлumbergera монотонно возрастают ( $\kappa > 1$ ) или монотонно убывают ( $\kappa < 1$ ) и с увеличением расстояния питающих электродов асимптотически приближаются к известному верхнему или нижнему пределу и отпадают ясно выраженным двупольным характером. Этот факт, который имеет место у всех методов, где при  $AB \rightarrow \infty$  расстояние  $M$  отступает конечным, вытекает в данном случае из того, что  $F_1, G_1, G_2, G_3, G_4$  имеют предел отличной от нуля. С этим обстоятельством надо считаться при всех зондовых измерениях с малым расстоянием потенциалных электродов, так как неоднородности, размеры которых сравнимы с величиной упомянутого расстояния или являются большими, нарушают постоянную ошибкой все измерения до любых глубин. Эта ошибка с увеличением расстояния  $AB$  вовсе не устраняется.
4. Чтобы рассматриваемый шар выдавал достаточно большие аномалии, достигающие по крайней мере  $\pm 20\%$ , должно быть тоже в предельных случаях  $\kappa = 0$  или  $\kappa = \infty$  при применении метода Шлumbergera  $a \geq 0,5$  или-же  $a \geq 0,6$ , при применении метода Веннера  $a \geq 0,6$  или  $a \geq 0,7$ .

# DAS GEOMETRISCHE STROMFELD IM HOMOGENEN HALBRAUM IN ANWSENHEIT EINES KUGELFÖRMIGEN FREMDKÖRPERS

I. KOLBENHEYER, Košice  
Zusammenfassung

Nach einer kurzen Rekapitulation der nötigen Sätze und Formeln aus der Theorie des Stromfeldes und der Kugelfunktionen in § 1 wird in § 2 das Problem des Feldes einer punktförmigen Stromquelle im homogenen unendlichen Raume gelöst, der einen kugelförmigen Fremdkörper abweichender Leitfähigkeit einschließt.

In § 3 wird die Theorie auf den Fall einer Dipolquelle erweitert. Bedeutend  $A_M, A_{M'}, A_{M''}, \dots$  die Komponenten der Richtungstensoren die durch Gl. 4 § 1 definiert werden und der Richtung vom Kugelmittelpunkt  $O$  zur Quelle  $Q$  entsprechen, so gilt für das Potential in einem beliebigen Punkte  $P$  Formel 9, bzw. 10, § 3 je nachdem sich dieser außerhalb oder innerhalb der betrachteten Kugel befindet. Dabei stellen  $a_k, a_{M'}, \dots$  in analoger Weise definierte, der Richtung  $OP$  entsprechende Tensorcomponenten dar, während  $M, M'$  die Dipolkomponenten der Quelle bedeutet. Die Situation ist in Abb. 1. veranschaulicht wo auch der Sinn der in den erwähnten Formeln auftretenden Größen  $a, R$  und  $r$  näher erklärt wird. Das Verhältnis der spezifischen Widerstände des kugelförmigen Körpers und des übrigen Raumes wird dabei mit  $g_2 : g_1 = \kappa$  bezeichnet.

In § 4 wird dasselbe Problem für eine Quadrupol- bzw. Oktapolquelle gelöst. Im ersten Falle wird das Potential im Aussenraum durch die Reihe 7, § 4 bestimmt, im letzteren durch eine Reihe deren erstes Glied in 9, § 4 angegeben ist.  $M, M'$  bzw.  $M, M'$  bedeuten dabei die Komponenten der Quadrupol- bzw. Oktapolquelle, während die Bedeutung aller übrigen Größen dieselbe ist wie in § 3.

In § 5 werden die Glieder der für das Potential im Aussenraum abgeleiteten Reihen als Potentiale im Kugelmittelpunkt befindlicher fiktiver Multipolquellen gedeutet. In § 6 wird die Spiegelung beliebiger Multipolquellen an einer Ebene erörtert.

In § 7. wird eine Näherungsformel für den scheinbaren Widerstand beim Wemnerschen oder einem beliebigen anderen symmetrischen Elektrodensystem abgeleitet, wobei sich der Sonderrungsmittelpunkt  $C$  senkrecht über dem Kugelmittelpunkt  $O$  befindet. Zur Erklärung der hierbei auftretenden Größen und Symbole dient Abb. 4. Durch Gl. 2, § 7 wird zunächst eine Folge von Funktionen  $F_1, F_2, \dots$  definiert, wobei  $P_1, P_2, P_3, \dots$  die entsprechenden Legendreschen Polynome,  $\xi = MN$  die Entfernung der Potentialelektroden bedeutet. Bezeichnet  $\bar{\rho}$  den scheinbaren Widerstand bei der betrachteten Elektrodenanordnung, so gilt für die relative Anomalie  $\frac{\bar{\rho}}{g_1} - 1 = A_0$  die Näherungsformel 3, § 7.

Diese Lösung stellt jedoch nur eine ziemlich rohe Annäherung dar. Es wird daher in § 8 zunächst die Möglichkeit einer strengen Lösung durch sukzessive Spiegelungen an der Kugelfläche und der Erdoberfläche angedeutet, sodann werden genauere Formeln für die Wemnersche Methode abgeleitet. Die schließliche Näherungsformel

$$A = \sum_{n=1}^7 \frac{\kappa - 1}{(n+1)\kappa + n} a^{2n+1} F_n + a^6 \left( \frac{\kappa - 1}{2\kappa + 1} \right)^2 \cdot G_1 + a^8 \frac{(\kappa - 1)^2}{(2\kappa + 1)(3\kappa + 2)} (G_2 + G_3) + a^6 \left( \frac{\kappa - 1}{2\kappa + 1} \right)^2 G_2 + a^{10} \left[ \frac{(\kappa - 1)^2}{(2\kappa + 1)(4\kappa + 3)} (G_4 + G_5) + \left( \frac{\kappa - 1}{3\kappa + 2} \right)^2 \cdot G_6 \right]$$

worin  $F_n$  die in 2. § 4 definierten Funktionen bedeuten während  $G_1, G_2, \dots, G_6$  der Reihe nach durch Formeln 4a, 8, 10, 16a, 18, 21 und 24 § 8 definiert sind, dürfe allen praktischen

Anforderungen genügen sofern nur  $a < 0,9$  ist. Bei denselben Bedingungen gilt diese Formel auch für beliebige andere symmetrische Elektrodenanordnungen, wobei jedoch die Funktionen  $F_n$  und  $G_n$  für verschiedene Schemen in verschiedener Weise definiert werden müssen. So sind z. B. in Gl. 1. und 2. § 10 die betreffenden Ausdrücke für die Schlumbergersche Anordnung angegeben, wobei die Bedeutung der hier auftretenden Größen sich aus Abb. 6. erklärt. Für die Wemnersche Anordnung sind alle diese Funktionen in Tab. 1. und 2. tabelliert, wo  $\xi = MN$  dreizehn verschiedene Werte (von 0,2 bis 10,0) annimt. Für die Schlumbergersche Anordnung gelten die entsprechenden Tabellen 3. und 4. wo  $l = \frac{1}{2} AB$  ist und sich von 0,3 bis zu 15,0 ändert. Als Längeneinheit dient in allen betrachteten Fällen die Tiefe des Kugelmittelpunktes unter der Erdoberfläche.

Auf Grund dieser Tabellen wurden in beiden Fällen theoretische Widerstandskurven berechnet, und zwar für die extremen Fälle  $\kappa = 0$  und  $\kappa = \infty$ . Die entsprechenden Zahlenwerte sind für die Wemnersche Methode ( $a = 0,4, 0,5, \dots, 0,8$ ) in Tab. 5. und 6, für die Schlumbergersche ( $a = 0,2, 0,3, \dots, 0,8$ ) in Tab. 7. und 8. zusammengestellt. Tab. 9. bezieht sich auf die Schlumbergersche Methode für den Fall  $a = 0,8, \kappa = 2,0$  (verhältnismäßig schwacher Widerstandskontrast).

In § 11. werden praktische Folgerungen gezogen, von denen die wichtigsten im folgenden zusammengefasst werden können:

1. Die relativen Werte der Anomalien sind für beide betrachteten Anordnungen wesentlich größer bei  $\kappa = 0$  (leitende Kugel in schlecht leitender Umgebung) als bei  $\kappa = \infty$  (schlecht leitende Kugel in gut leitender Umgebung).
2. Bei der Schlumbergerschen Anordnung sind die Relativwerte der Anomalien wesentlich höher als bei der Wemnerschen. Dafür reagiert aber diese Anordnung zugleich auch viel empfindlicher auf alle quasiphärischen Inhomogenitäten in der Oberflächzone.
3. Im Gegensatz zur horizontalen Schichtung gehen im Falle des kugelförmigen Fremdkörpers beide betrachteten Methoden ziemlich verschiedene Ergebnisse. Ein grundlegender Unterschied zeigt sich schon im Charakter der theoretischen Widerstandskurven. Während bei der Wemnerschen Methode die betreffenden Kurven einen ausgesprochenen Dreischichtencharakter mit einem verhältnismäßig scharfen Maximum oder Minimum (besonders bei großen  $a$ ) aufweisen, ist bei der Schlumbergerschen Anordnung der Verlauf sehr ähnlich dem einer typischen Zweischichtenkurve, d. h. monoton steigend oder fallend mit asymptotischer Näherung zu einem bestimmten Grenzwert. Dieser Tatbestand, der für alle Anordnungen gilt wo bei wachsender Stromelektrodenentfernung ( $AB \rightarrow \infty$ ) die Potentialelektrodenentfernung  $MN$  endlich bleibt, erklärt sich daraus, daß  $F_1, G_1, G_2, G_3$  und  $G_4$  einen von Null verschiedenen Grenzwert haben. Bei Sonderrungsanordnungen mit geringerer Potentialelektrodenentfernung ist dieser Umstand besonders zu beachten, da alle oberflächennahen Inhomogenitäten deren Dimensionen mit dieser Entfernung vergleichbar sind Anomalien hervorrufen können die bei wachsender Stromelektrodenentfernung gar nicht beseitigt werden sondern sich konstant erhalten.
4. Es muß selbst in den Extremfällen  $\kappa = 0$  bzw.  $\kappa = \infty$  bei der Schlumbergerschen Anordnung  $a \geq 0,5$  bzw.  $a \geq 0,6$ , bei der Wemnerschen  $a \geq 0,6$  bzw.  $a \geq 0,7$  sein damit die Relativwerte der Widerstandsanomalien zumindest  $\pm 20\%$  erreichen.